

MAPA GEOLOGICO DE ESPANA

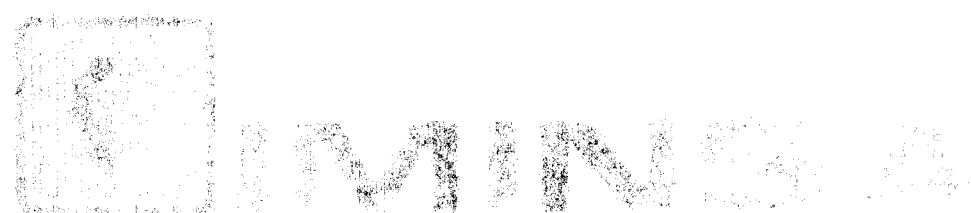
INFORMACION COMPLEMENTARIA

OZA DE LOS RIOS

(46) (06-05)

MICROFOTOGRAFIAS

NOVIEMBRE 1978





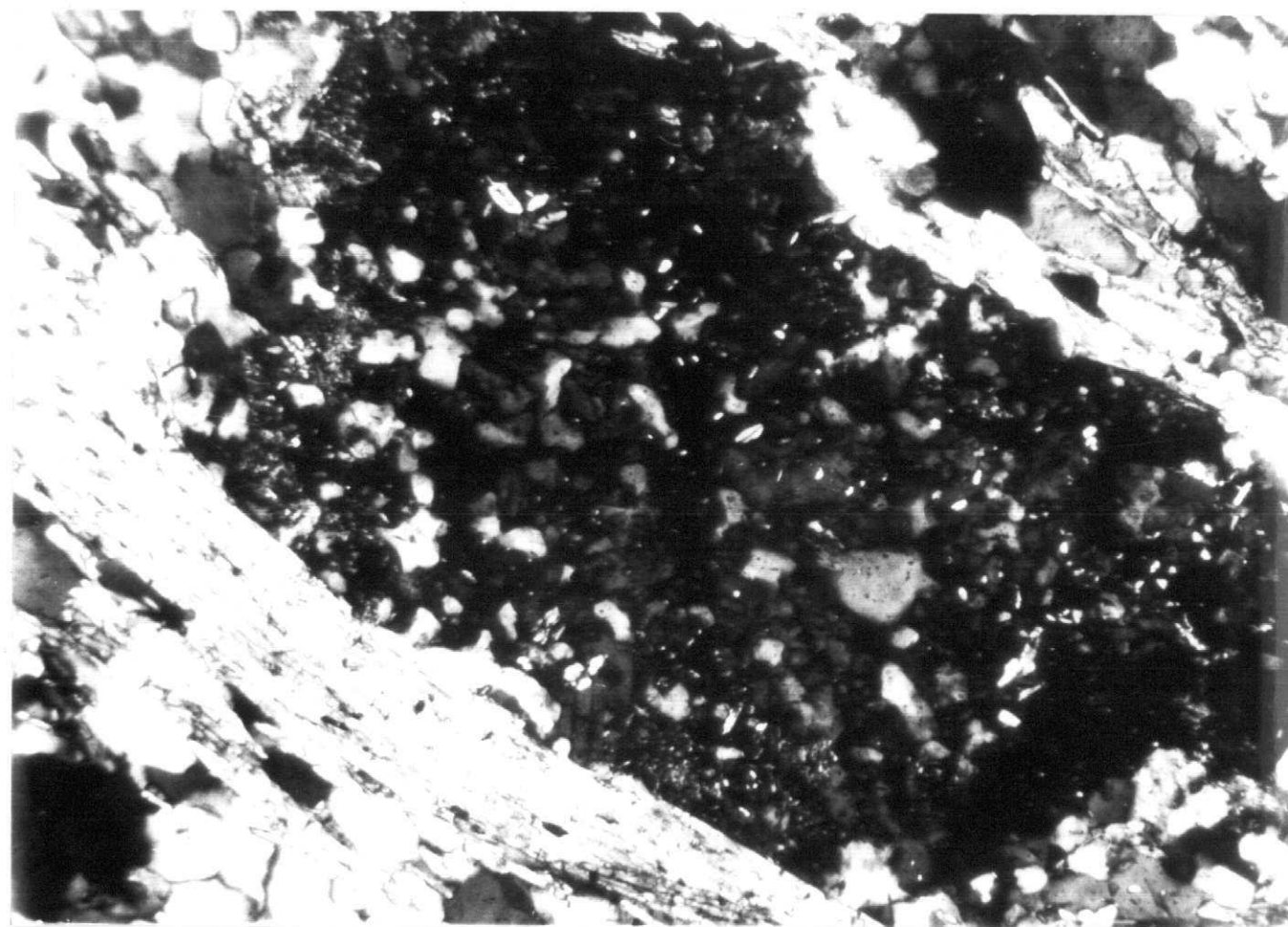
IMINSA

INFORMACION COMPLEMENTARIA

HOJA 06-05

OZA DE LOS RIOS

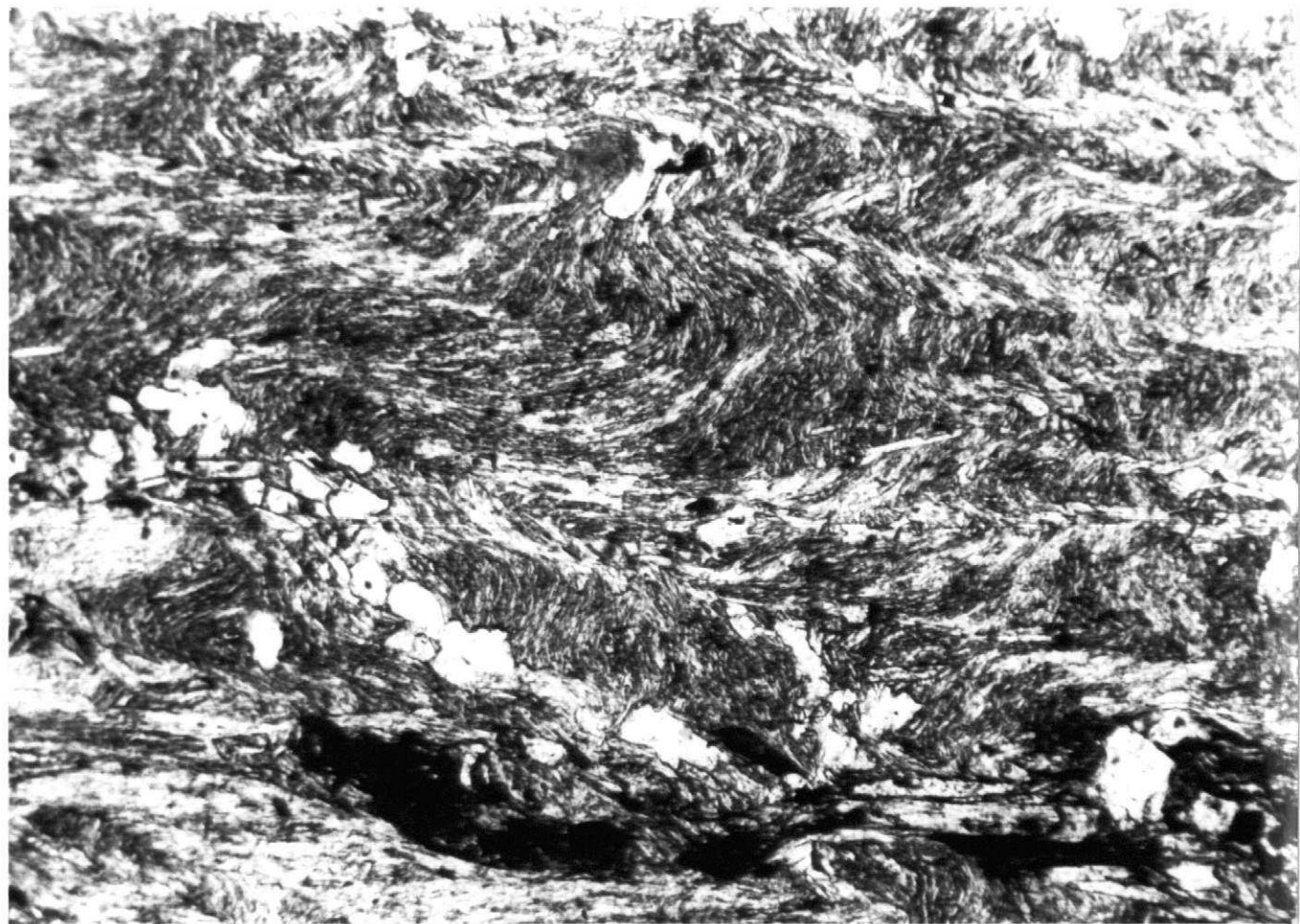
ALBUM DE MICROFOTOGRAFIAS



06-05 IM NB 1040.- Porfiroblastos de biotita en el Ollo de Sapo. LP X 32



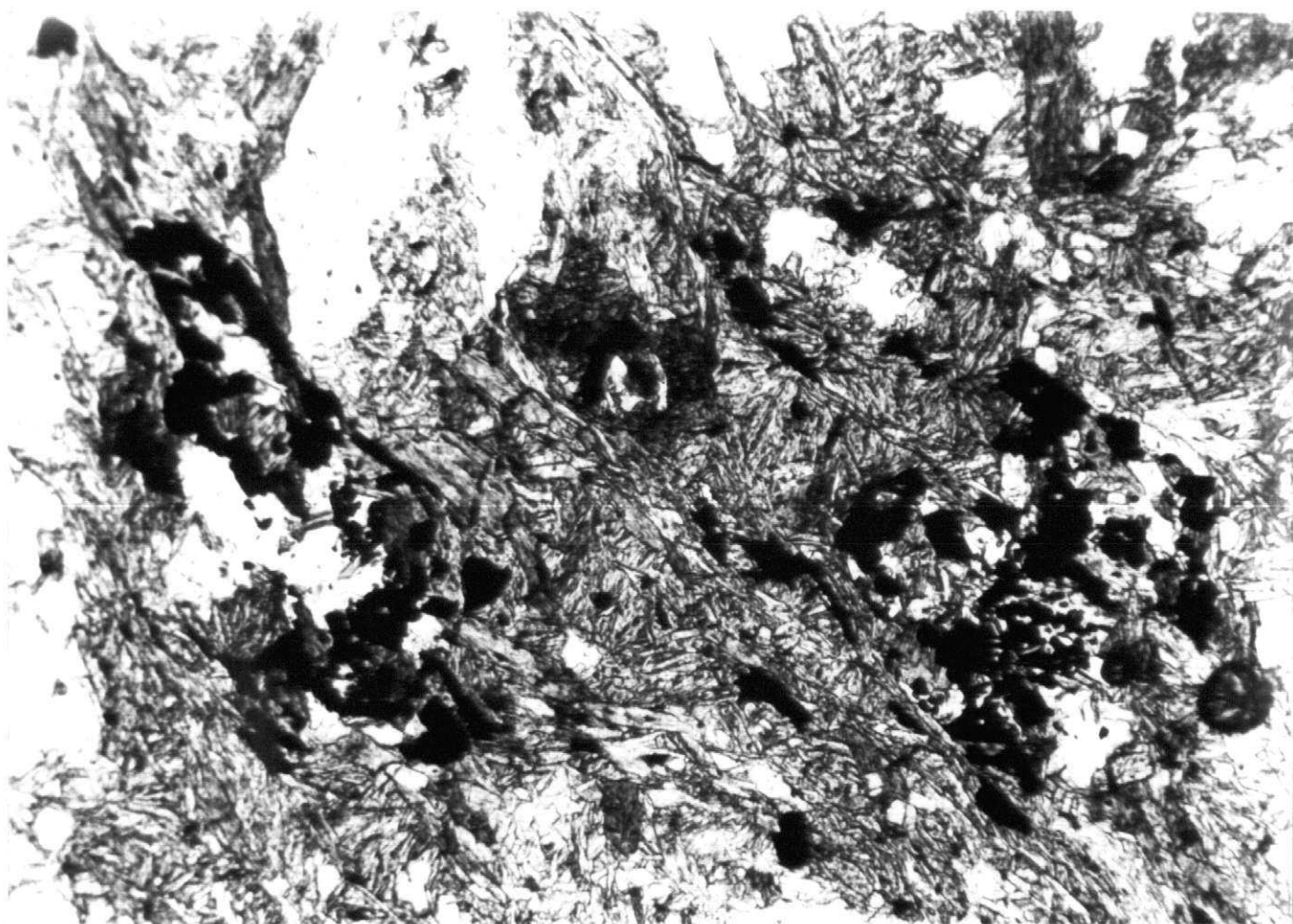
IMINSA



06-05 IM NB 1053.- Crenulación en las zonas más pelíticas del Ollón de Sapo de grano fino.

LP X 32



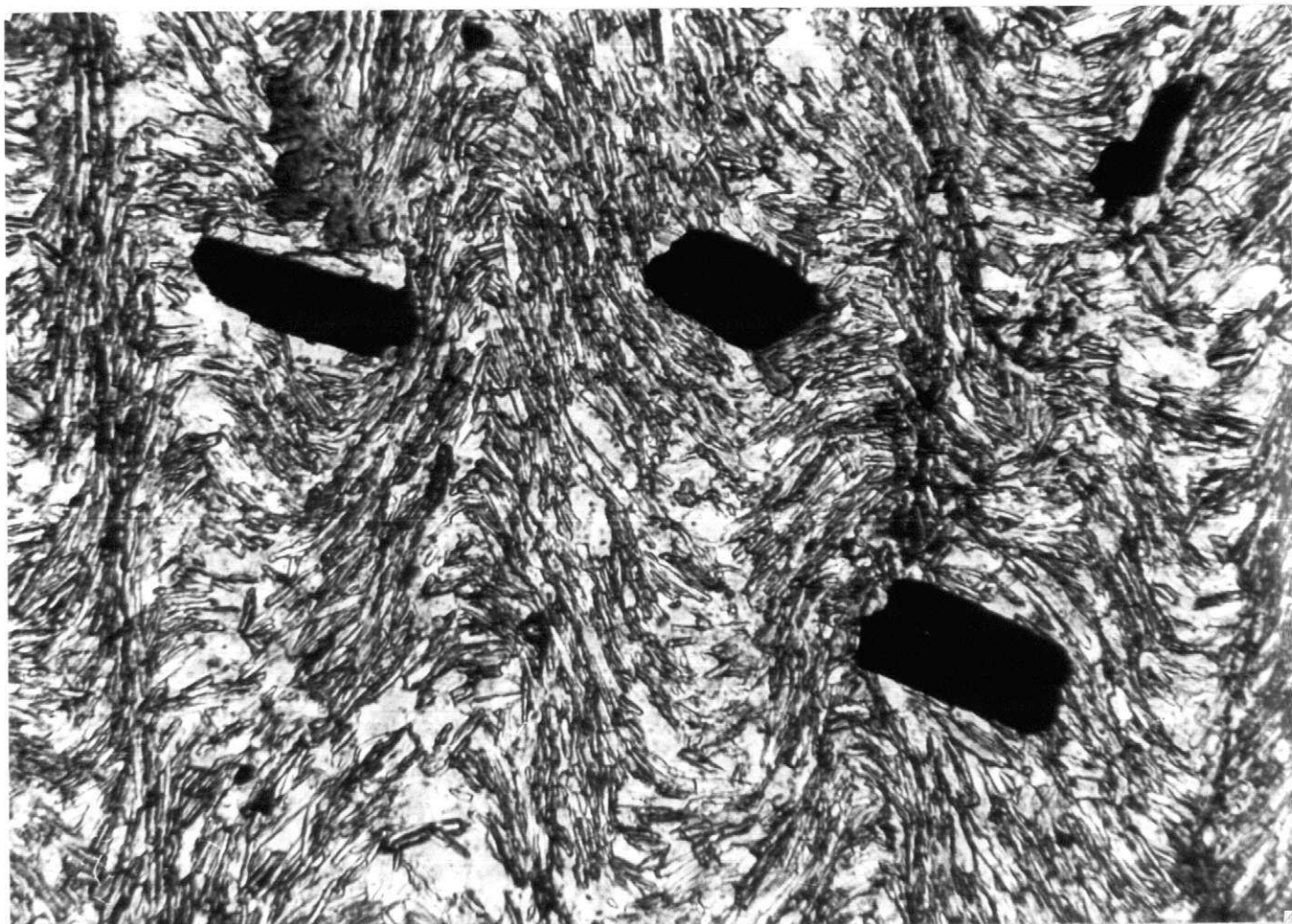


06-05 IM NB 1053.- Aspecto más frecuente que presentan los opacos en el Ollo de Sapo.

LN X 78



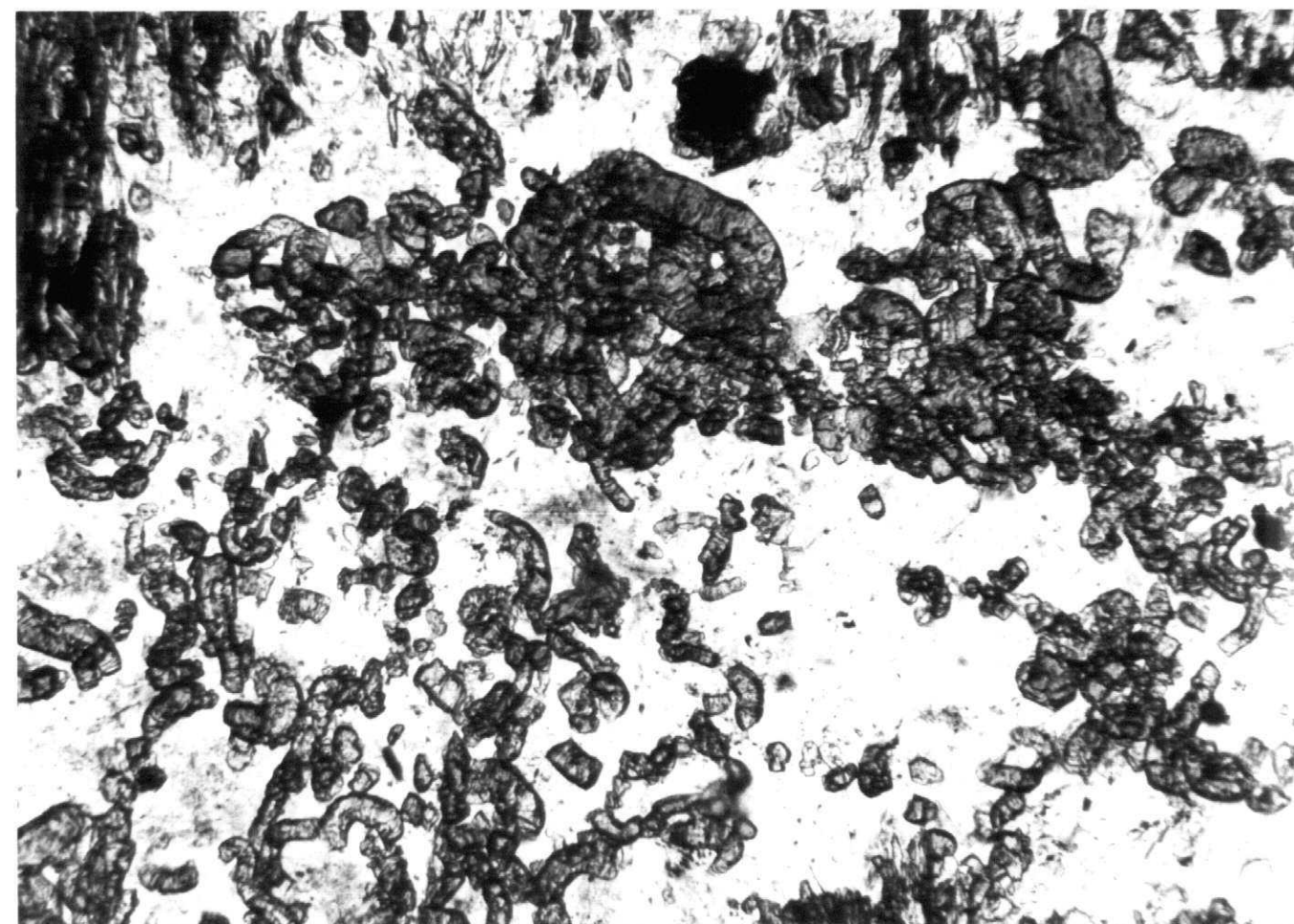
IMINSA



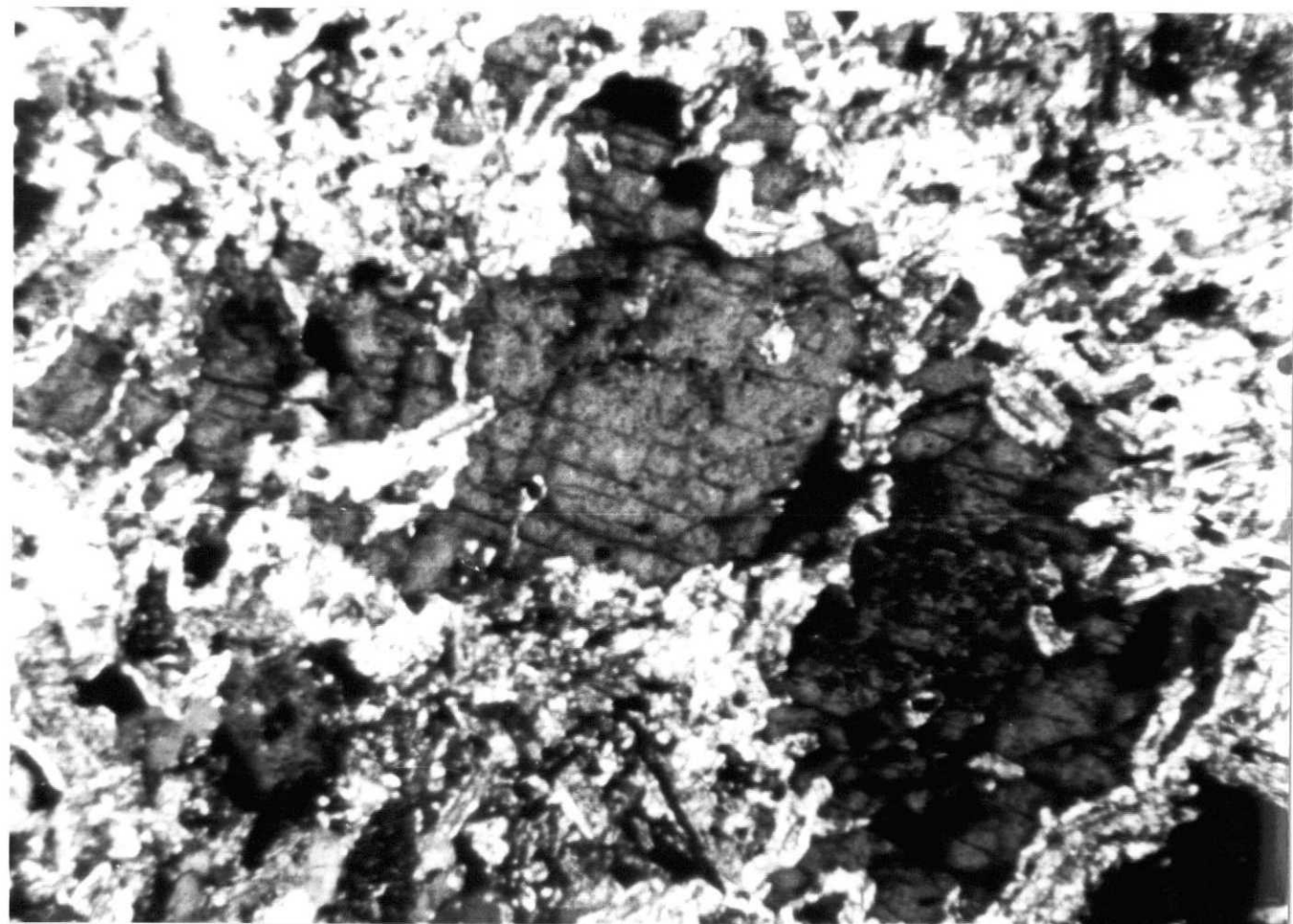
06-05 IM NB 1093.- Opacos claramente post tectónicos. LN X 78



IMINSA



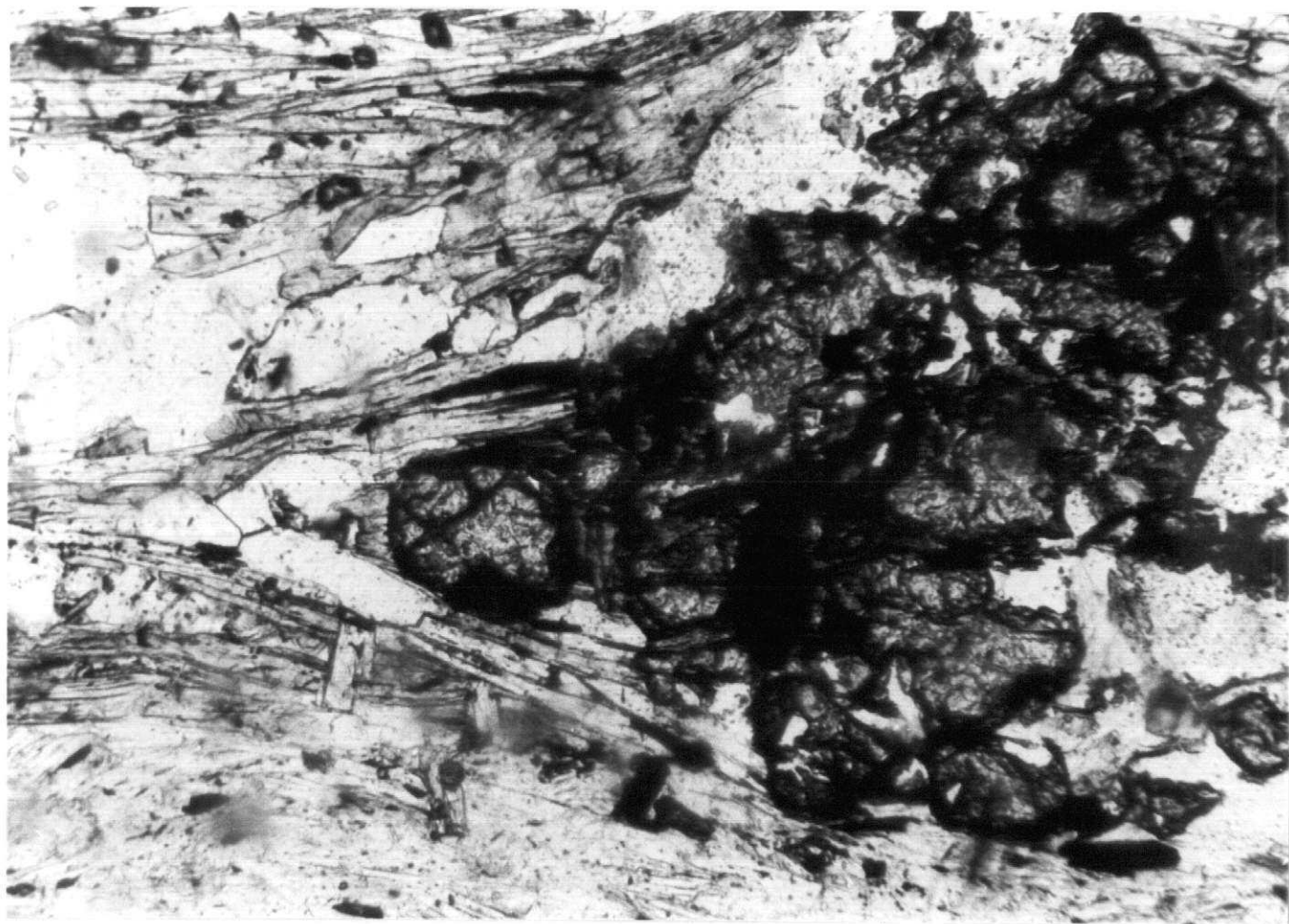
06-05 IM NB 1112.- Cloritas verniculares en filoncillos de cuarzo. LN X 125



06-05 IM NB 1120.- Andalucita sustituida por sericita moscovita. LN X 32



IMINSA



06-05 IM NB 1120.- Granates preesquistosidad. LN X 78



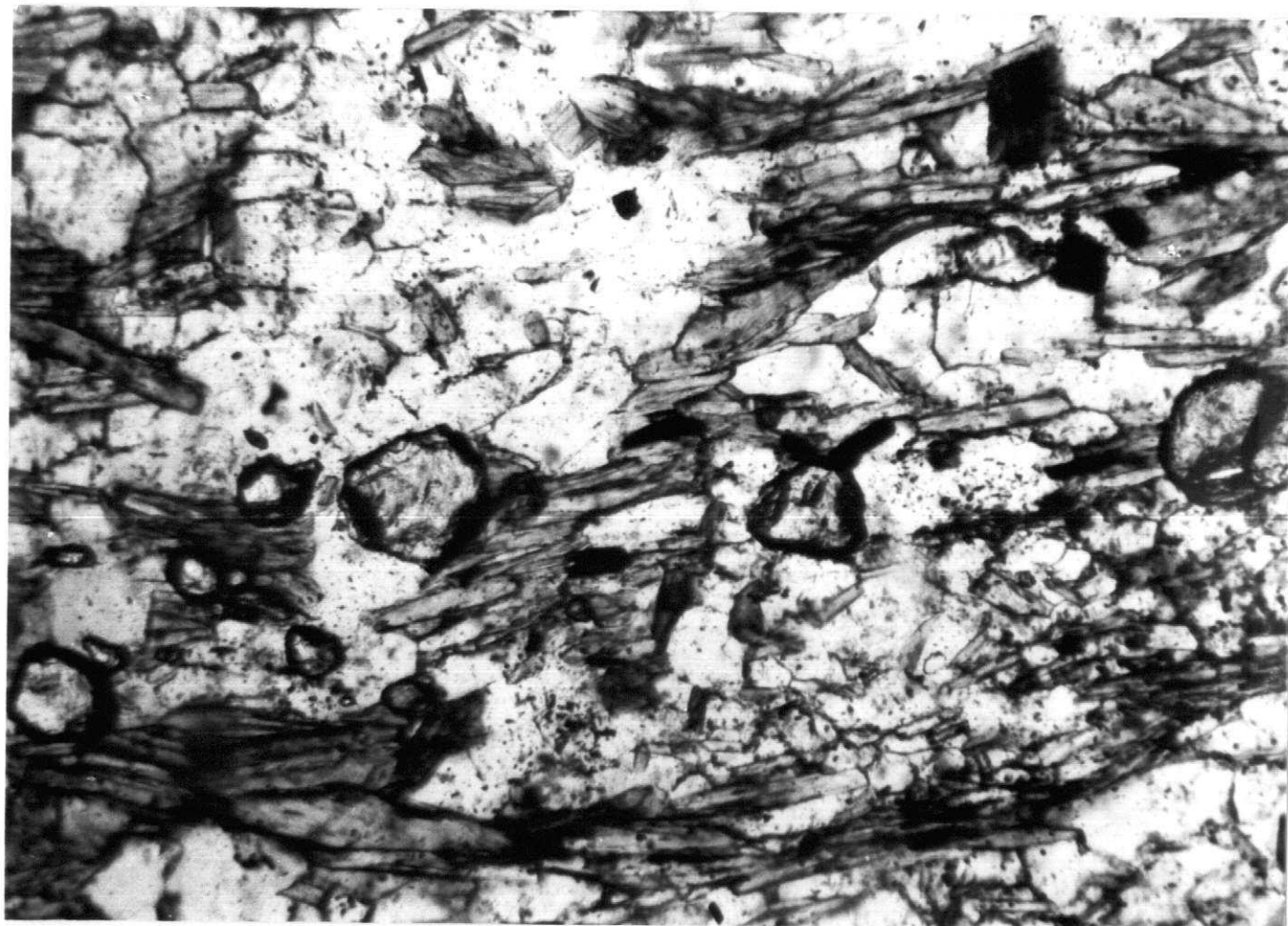
IMINSA



06-05. IM NB 1120.- Biotita pre-crenulación. LN X 78



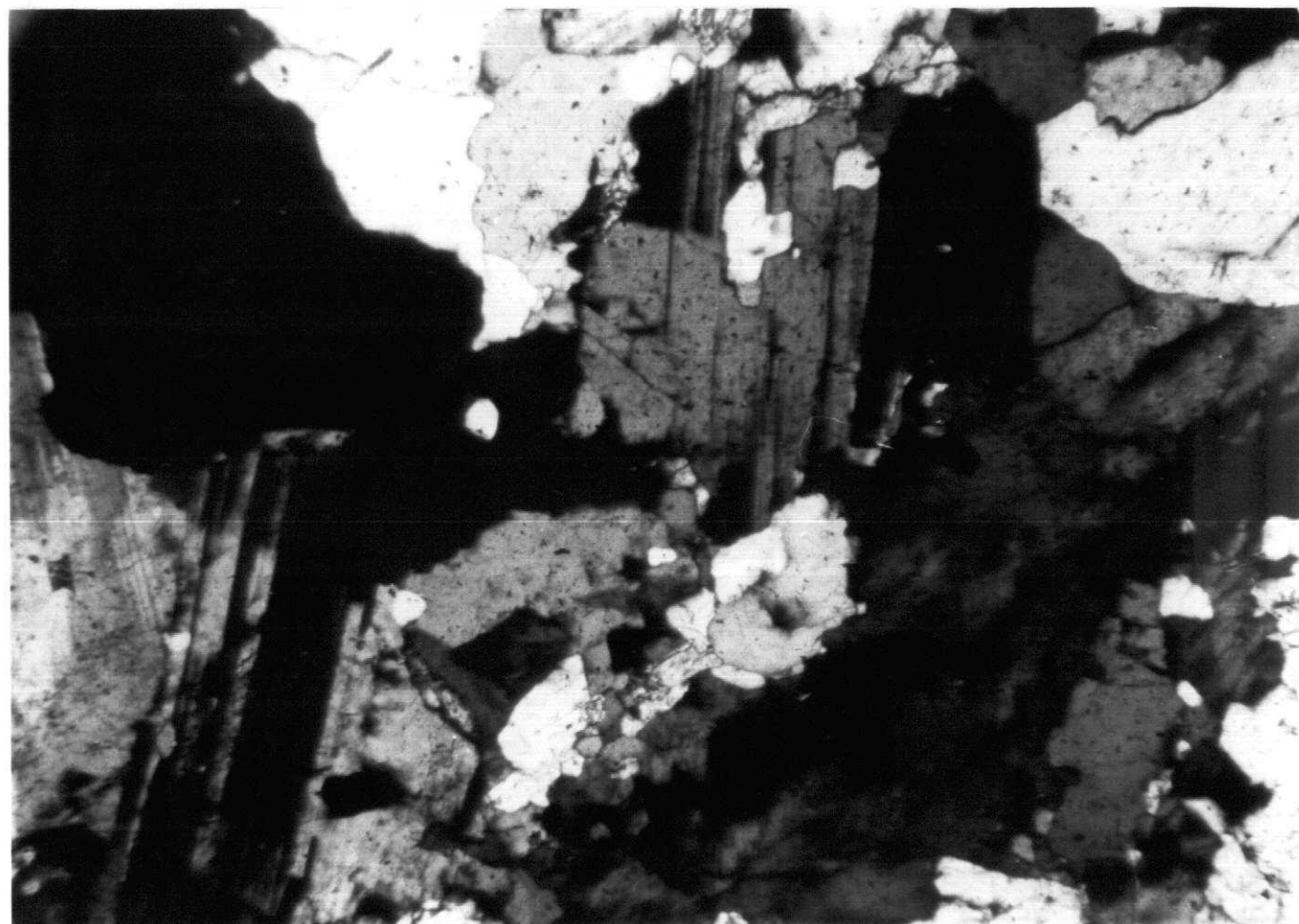
IMINSA



06-05 IM NB 1120.- Granates post esquistosidad de F_2 . LN X 32



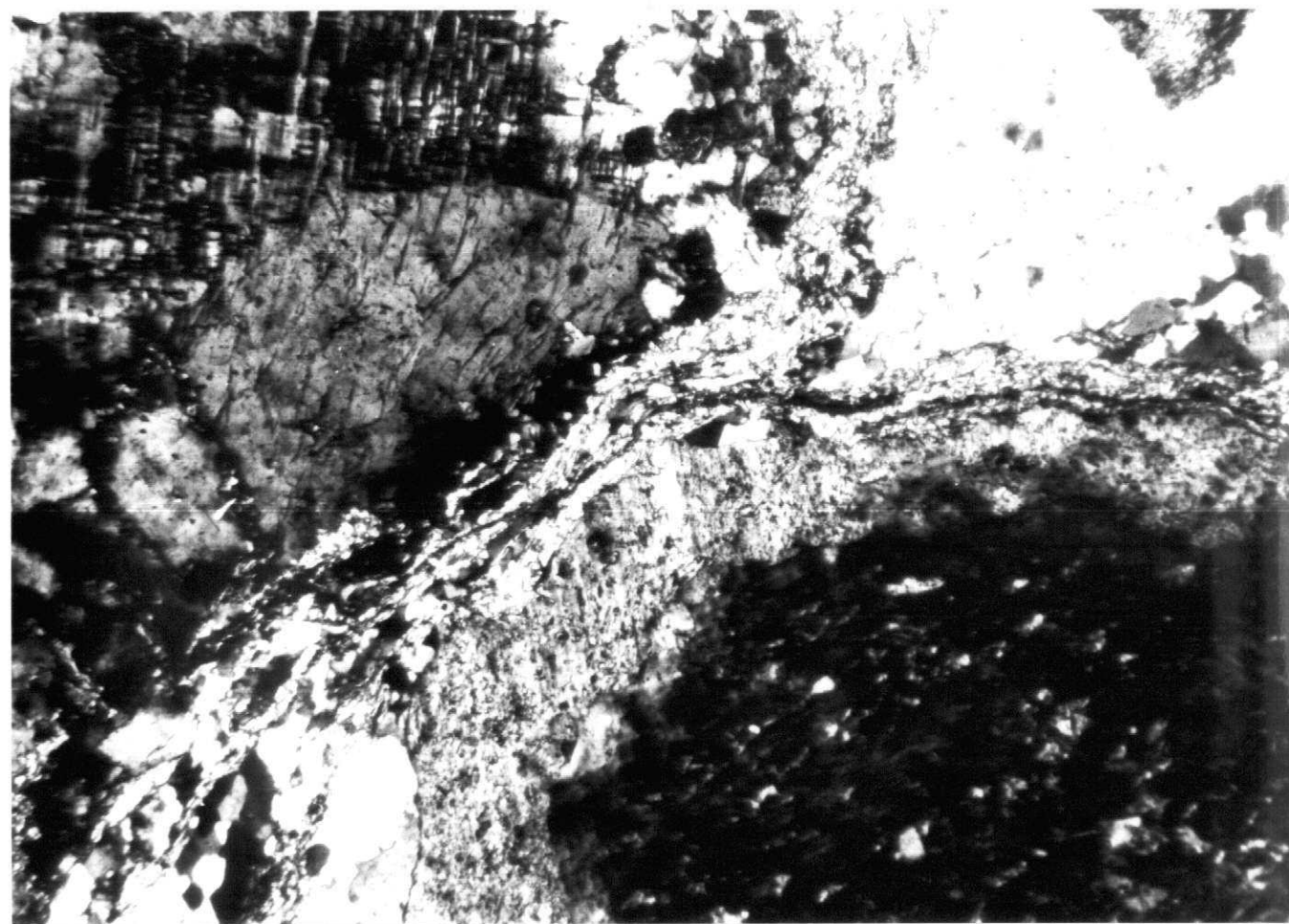
IMINSA



06-05 IM NB 1124. Aspecto general de textura idiomórfica. LP X 32



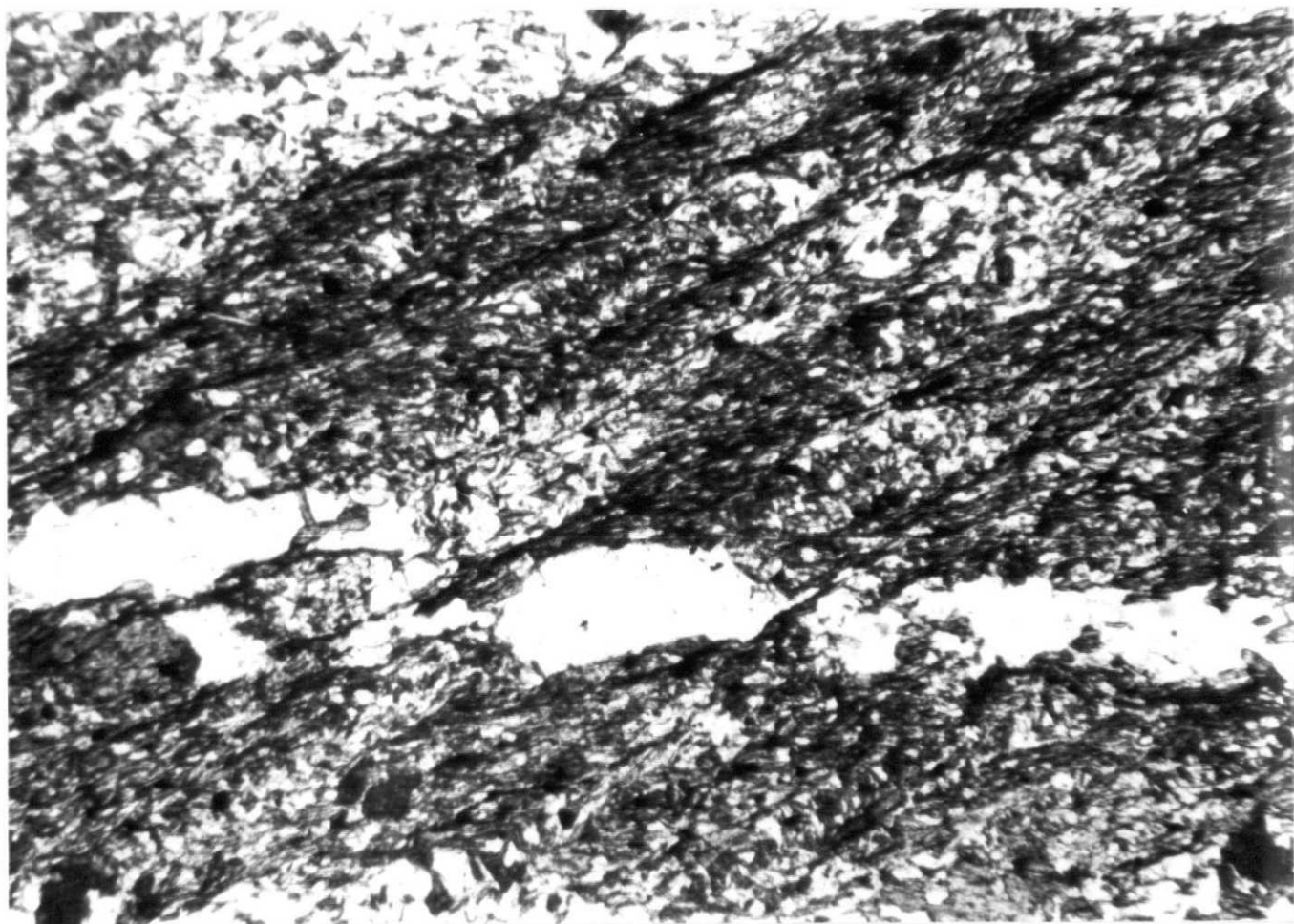
IMINSA



06-05 IM NB 1130.- Aspecto general de textura neísica en la granodiorita. LP X 32



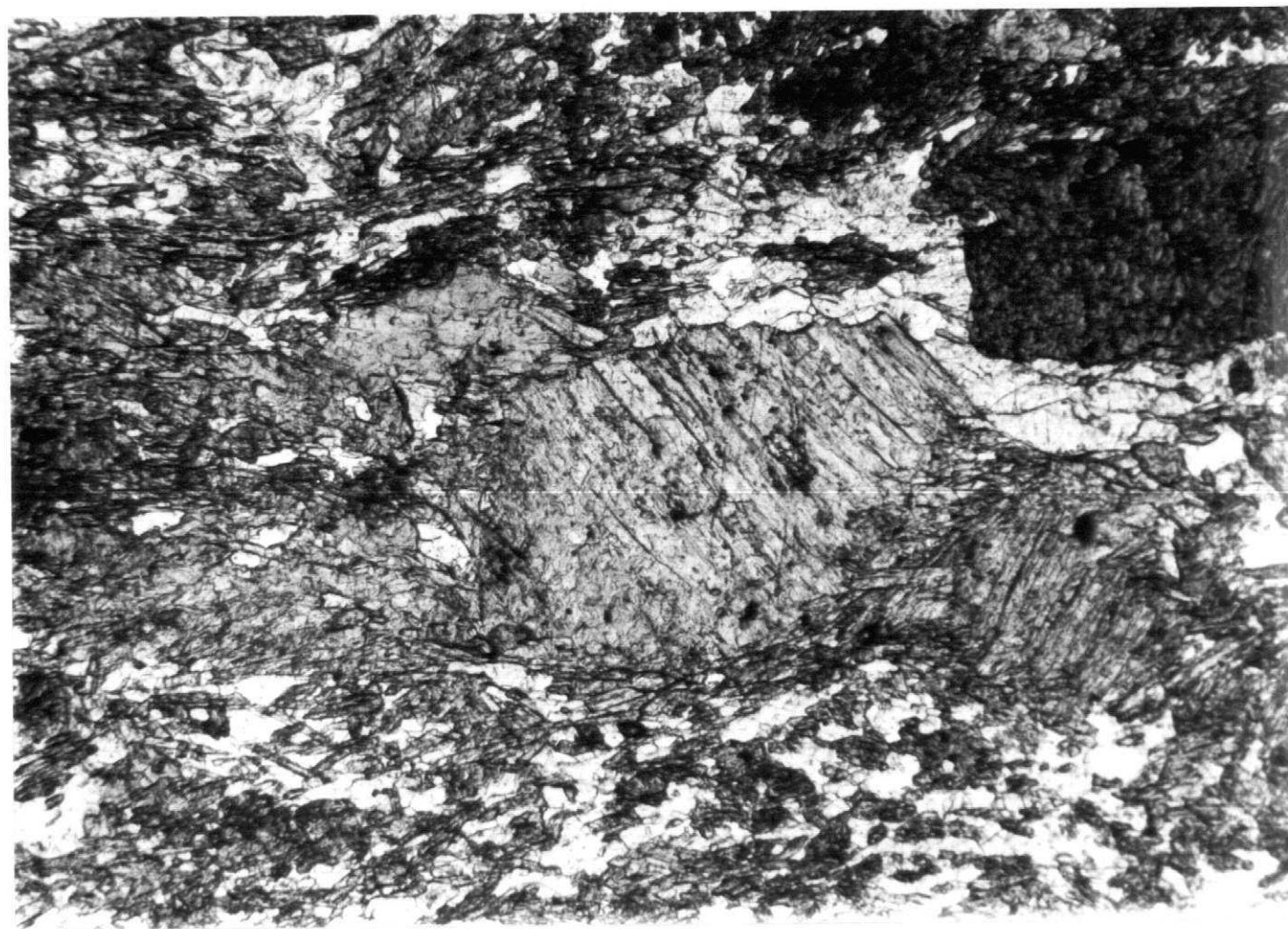
IMINSA



06-05 IM NB 1133.- Filoncillos de cuarzo rotos por la esquistosidad de crenulación. LN X 32



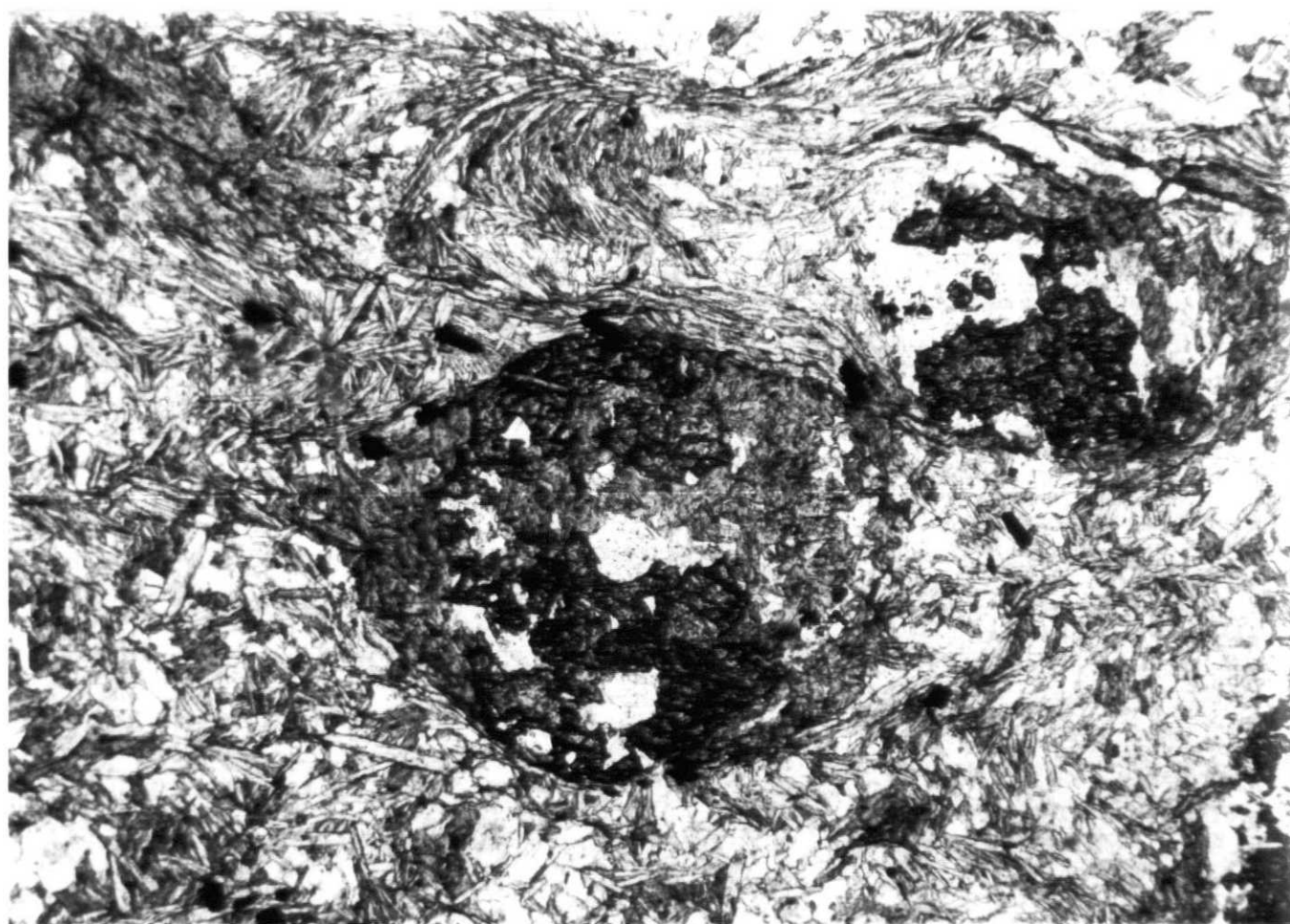
IMINSA



06-05 IM NB 1153.- Grandes cristales de anfíbol en matriz cuarzo-anfibólica. LN X 32



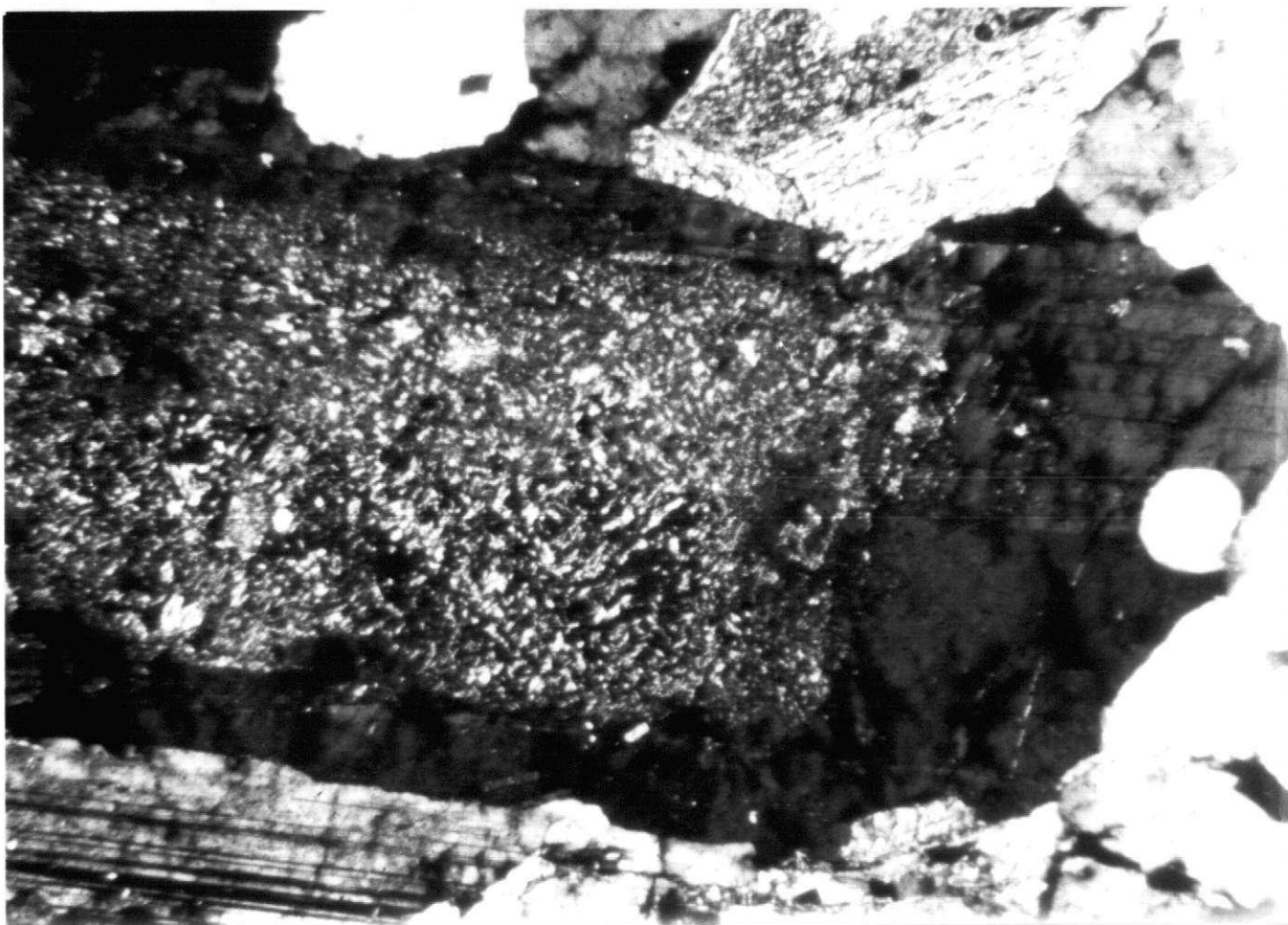
IMINSA



06-05 IM NB 1156.- Granates corroídas sustituidas por clorita y opacos. LN X 32



IMINSA



06-05 IM NB 1159.- Plagioclasas con núcleos sericitizados. LP X 32



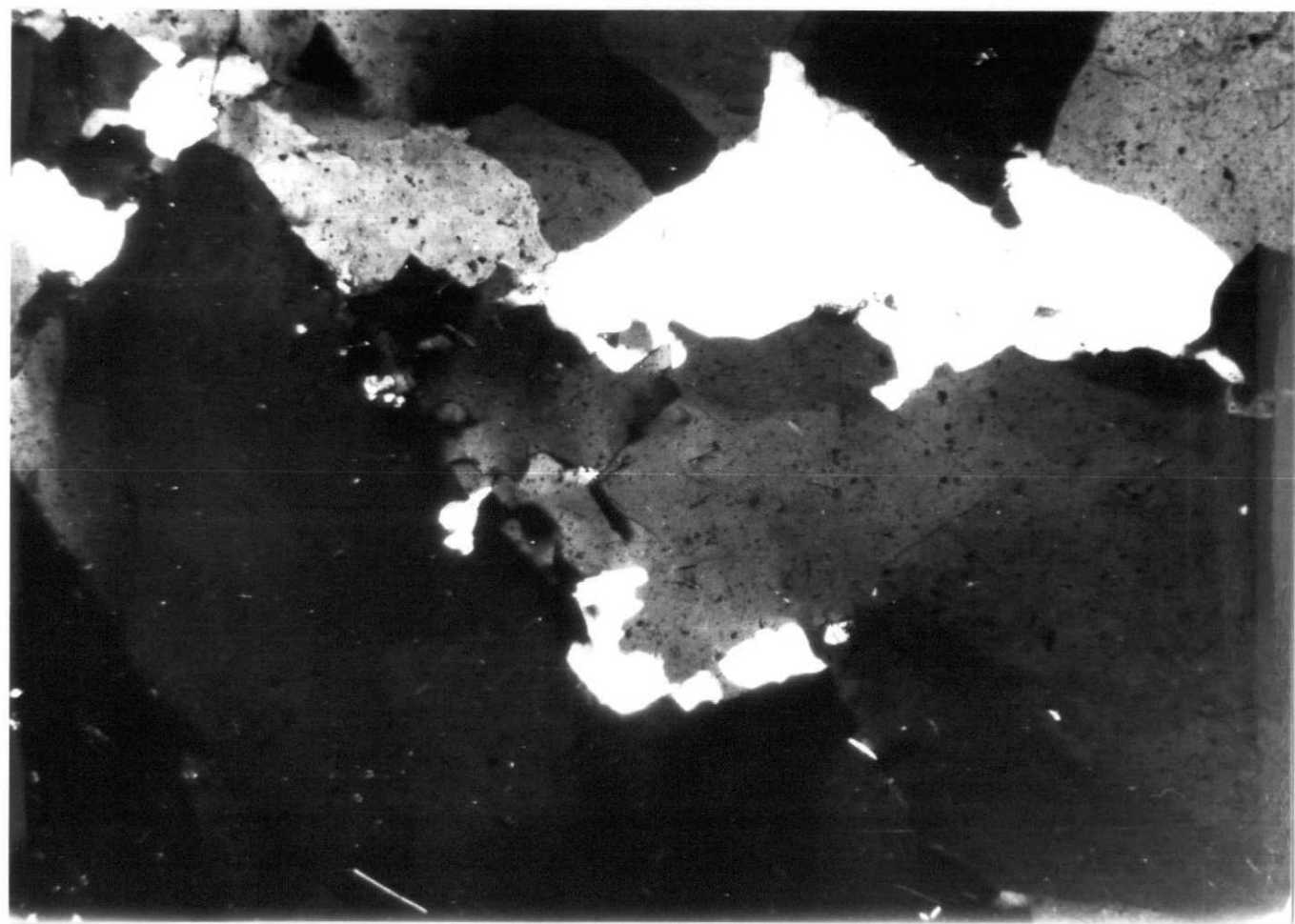
IMINSA



06-05 IM NB 1162.- Mirmecitas y bordes corroídas en plagioclasas en contacto con feldes-
pato potásico. LP X 78



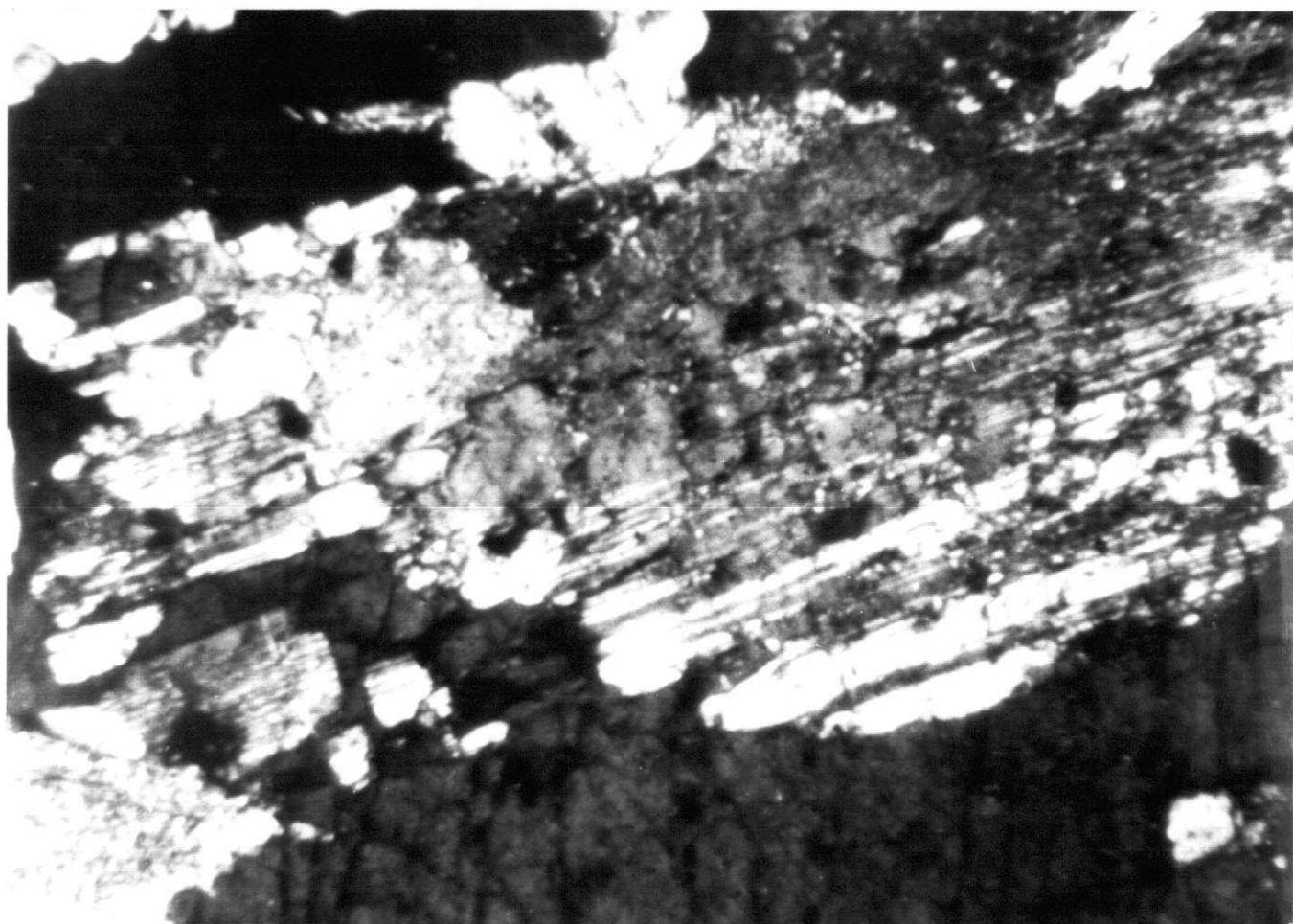
IMINSA



06-05 IM NB 1165.- Recristalización en cuarzo. LP X 32



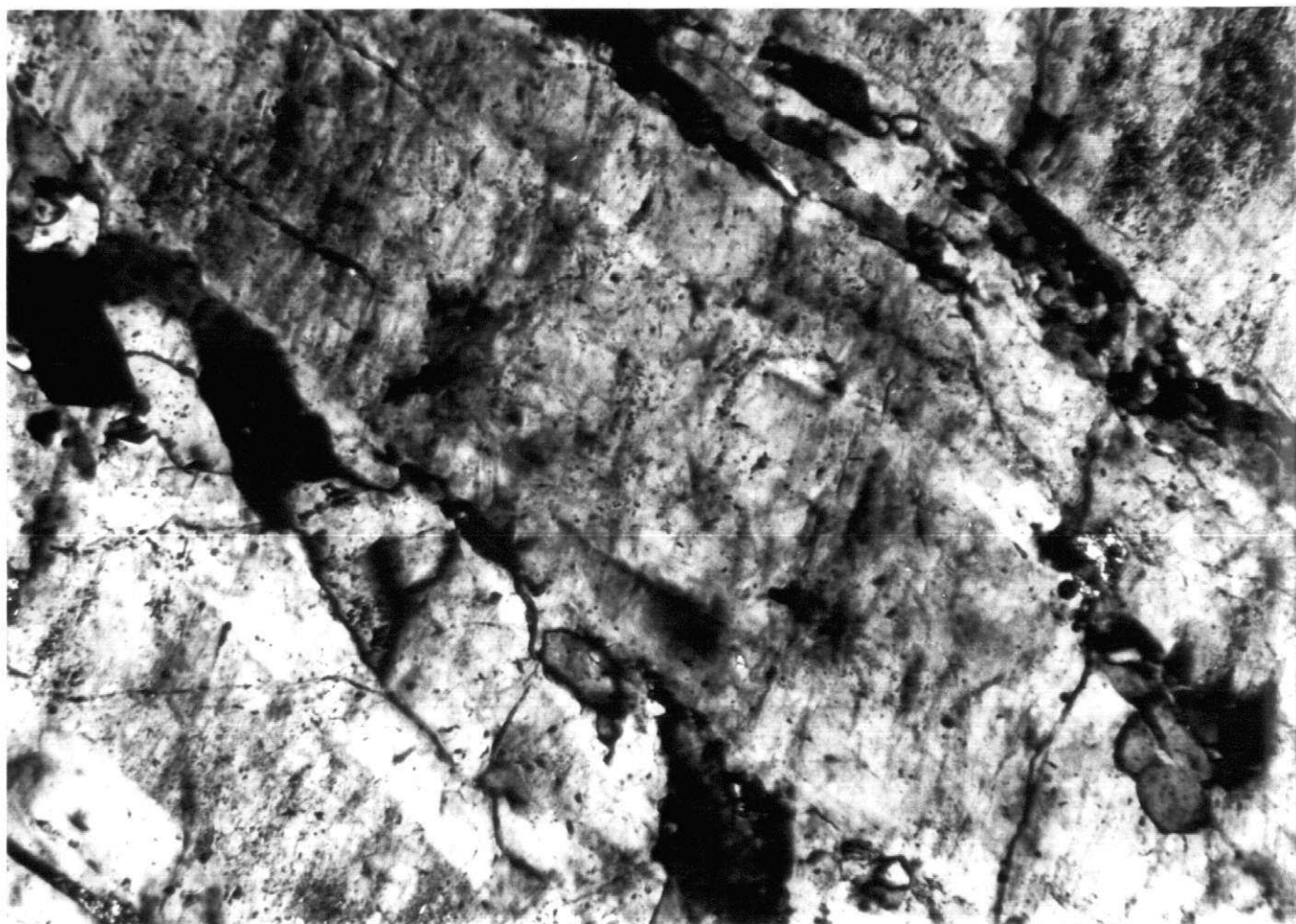
IMINSA



06-05 IM NB 1168.- Plagioclasas sustituidas por feldespato potásico. LP X 32



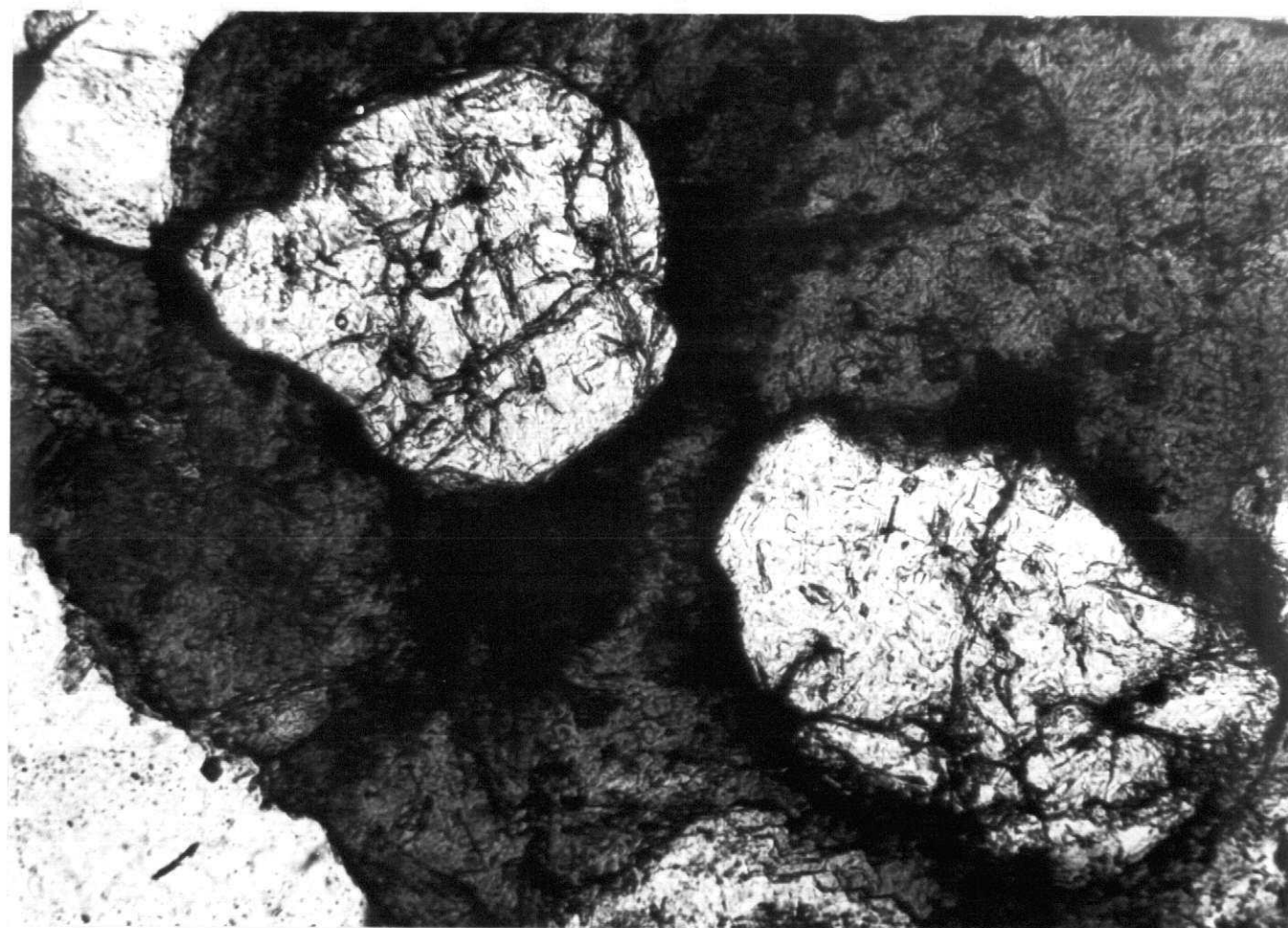
IMINSA



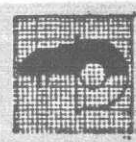
06-05 IM NB 1169.- Deformación en megacristales de feldespato potásico. LP X 32

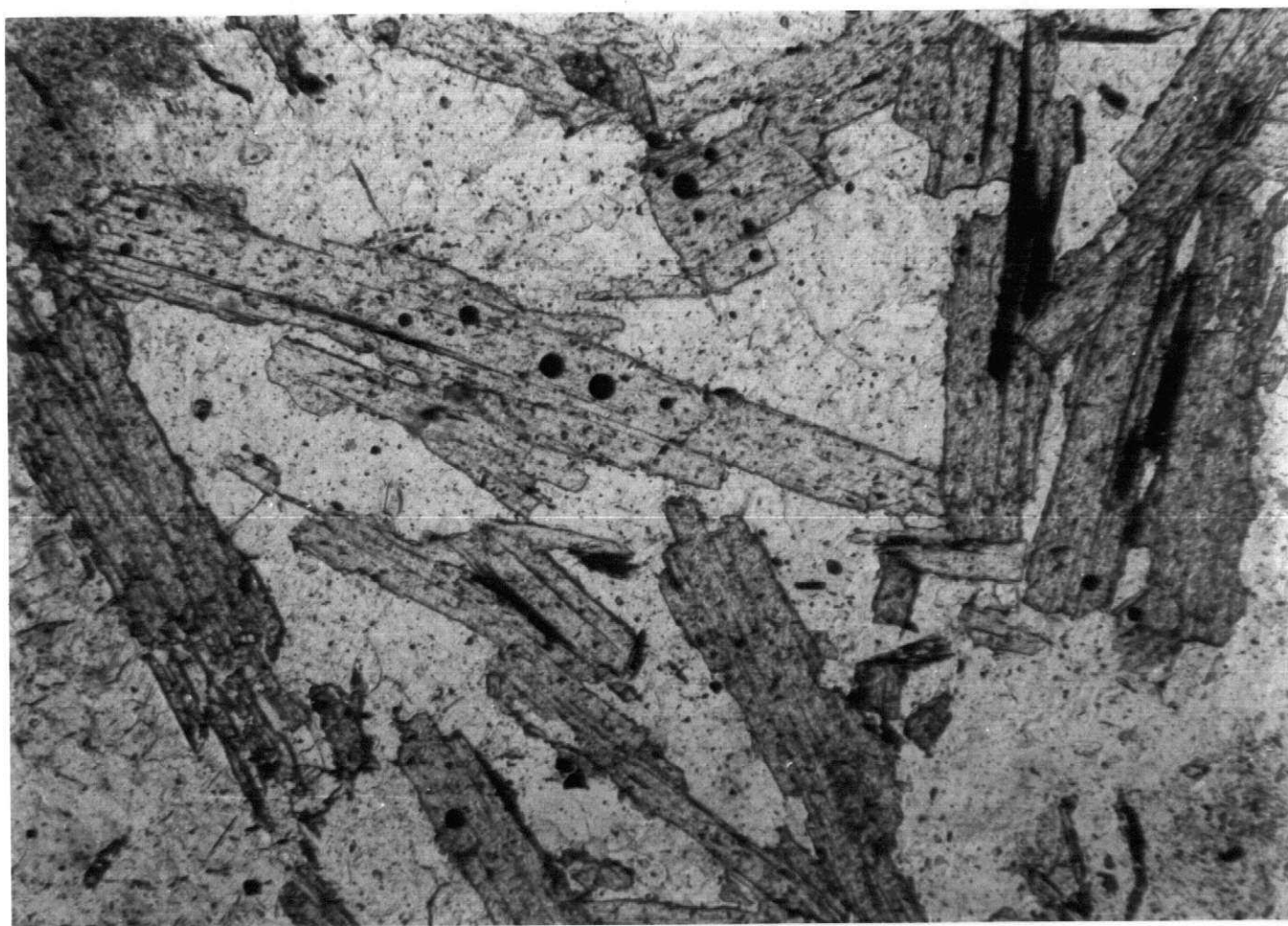


IMINSA

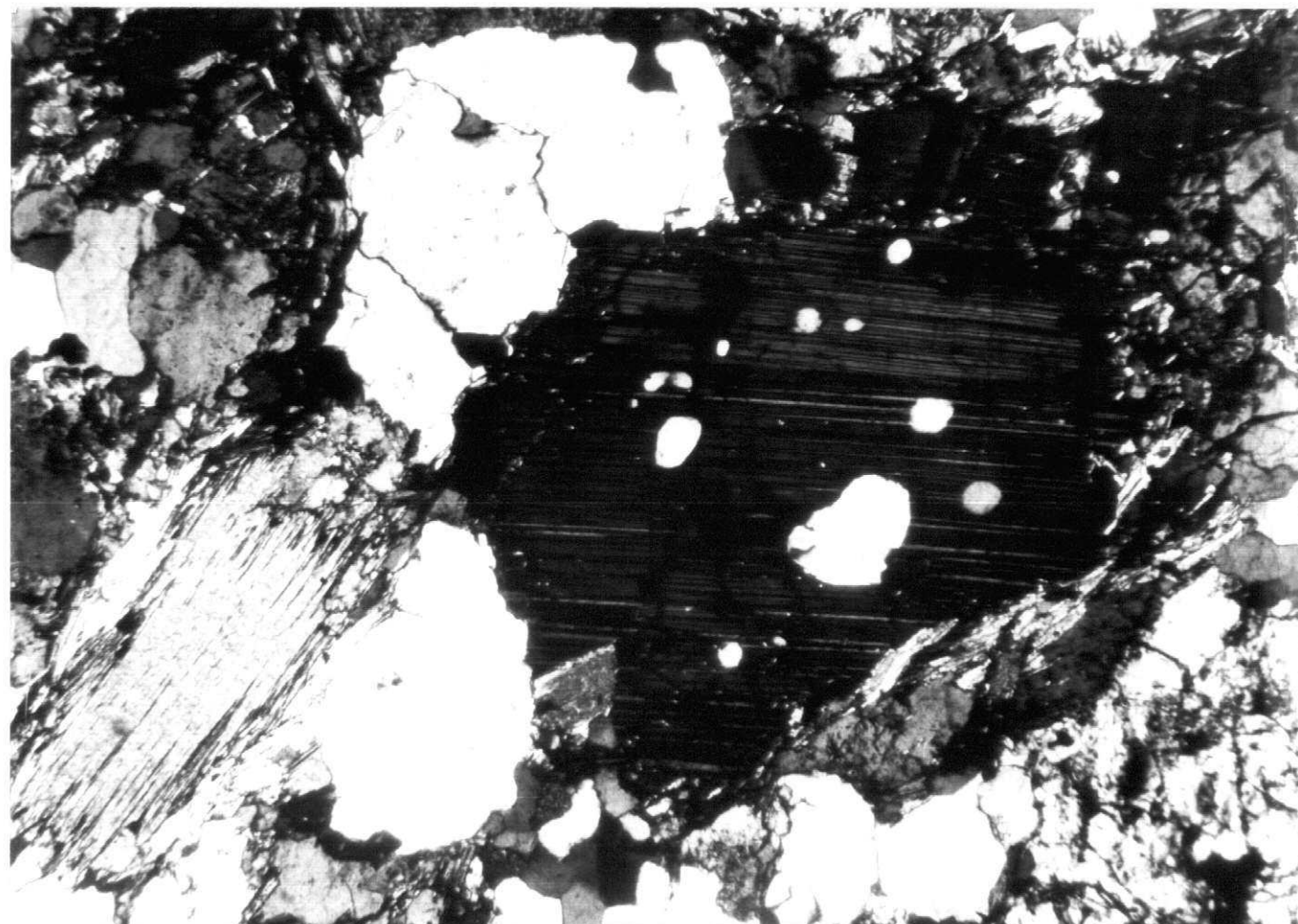


06-05 IM NB 1169.- Apatito englobado en micas cloritizadas. LN X 125



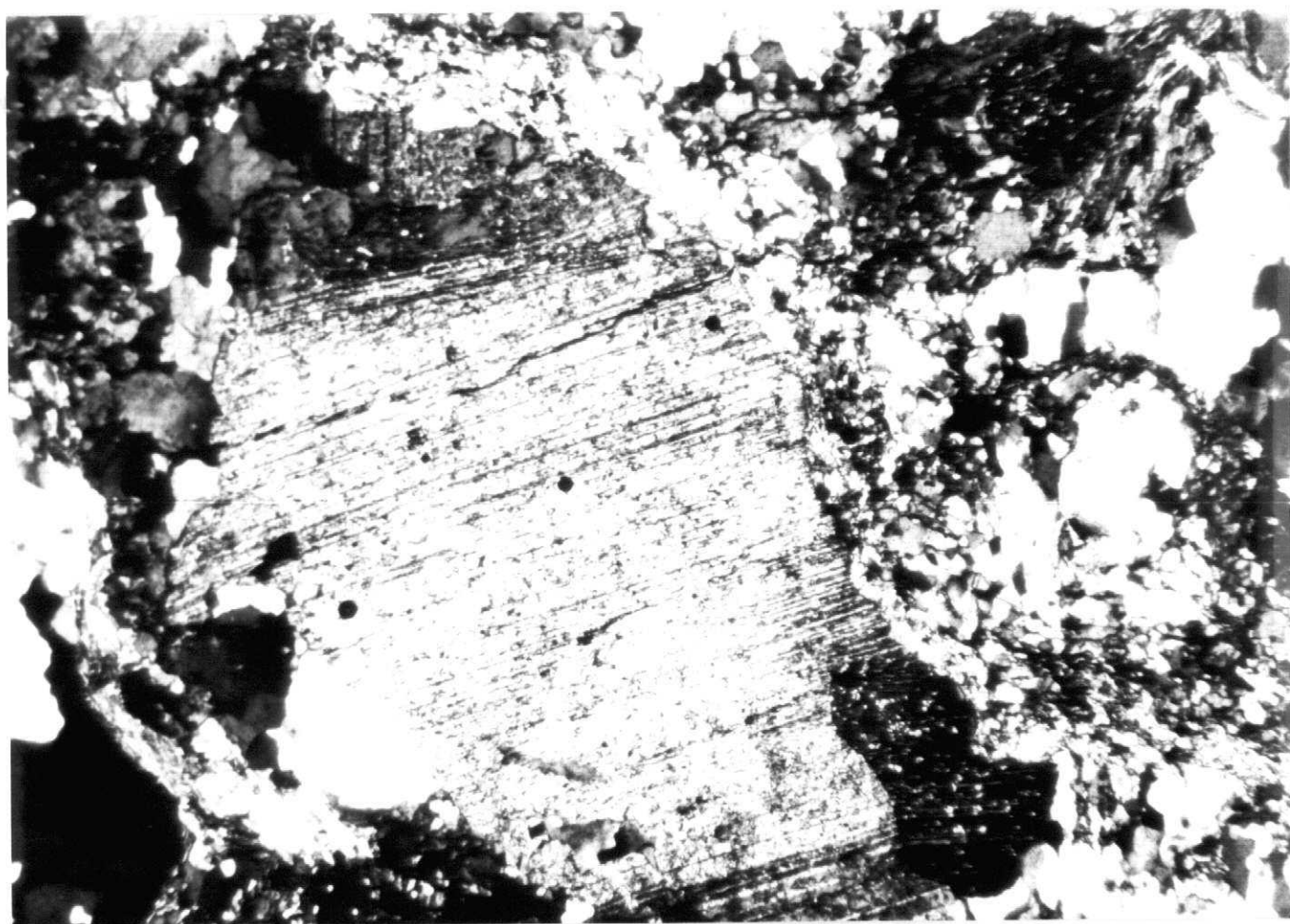


06-05 IM NB 1171.- Aspecto de la moscovita en el granito. LN X 32



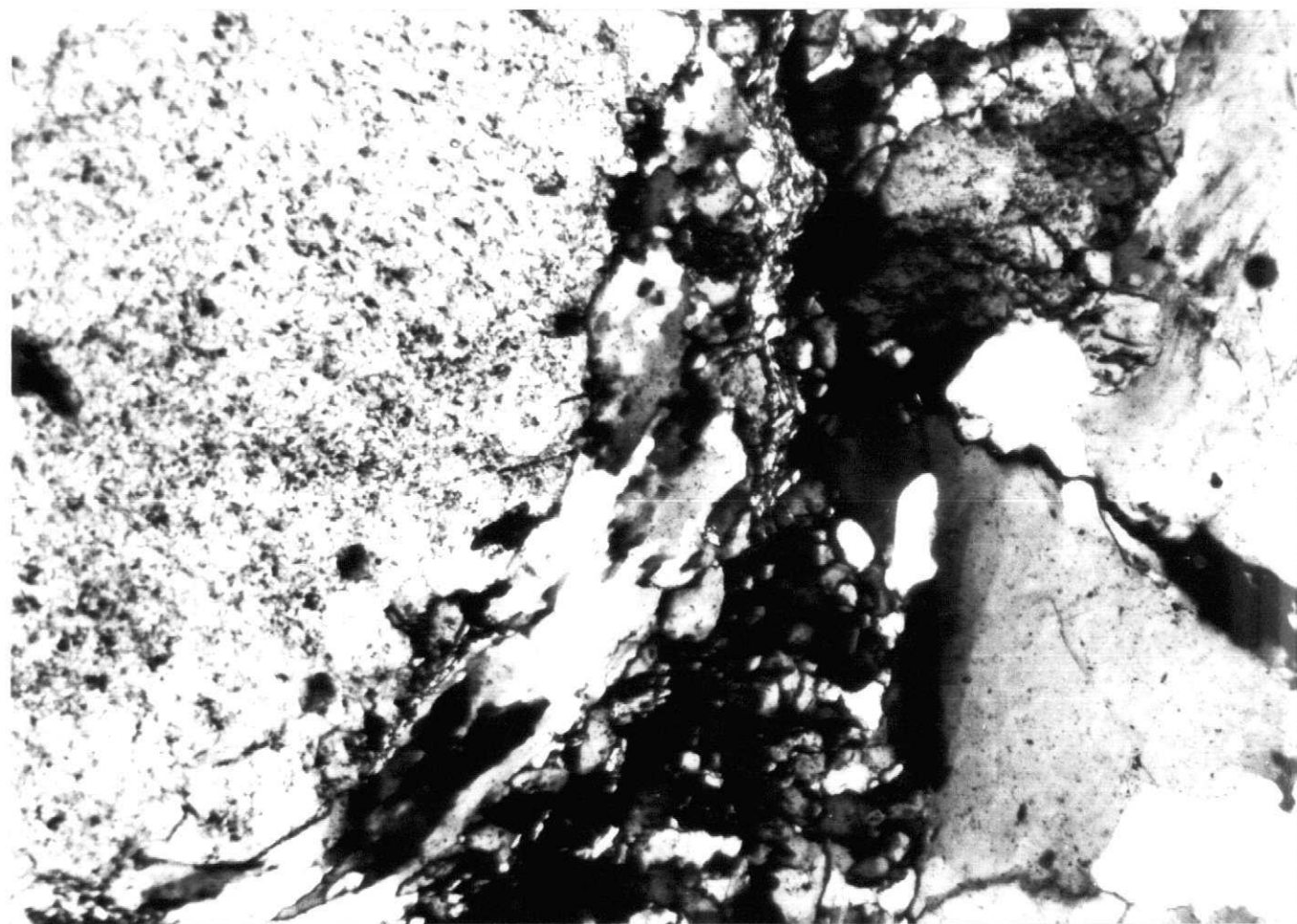
06-05 IM NB 1172.- Inclusiones de cuarzo y textura allotriomórfica del granito. LN X 32





06-05 IM NB 1197.- Aspecto microscópico del granito muy deformado. LP X 32

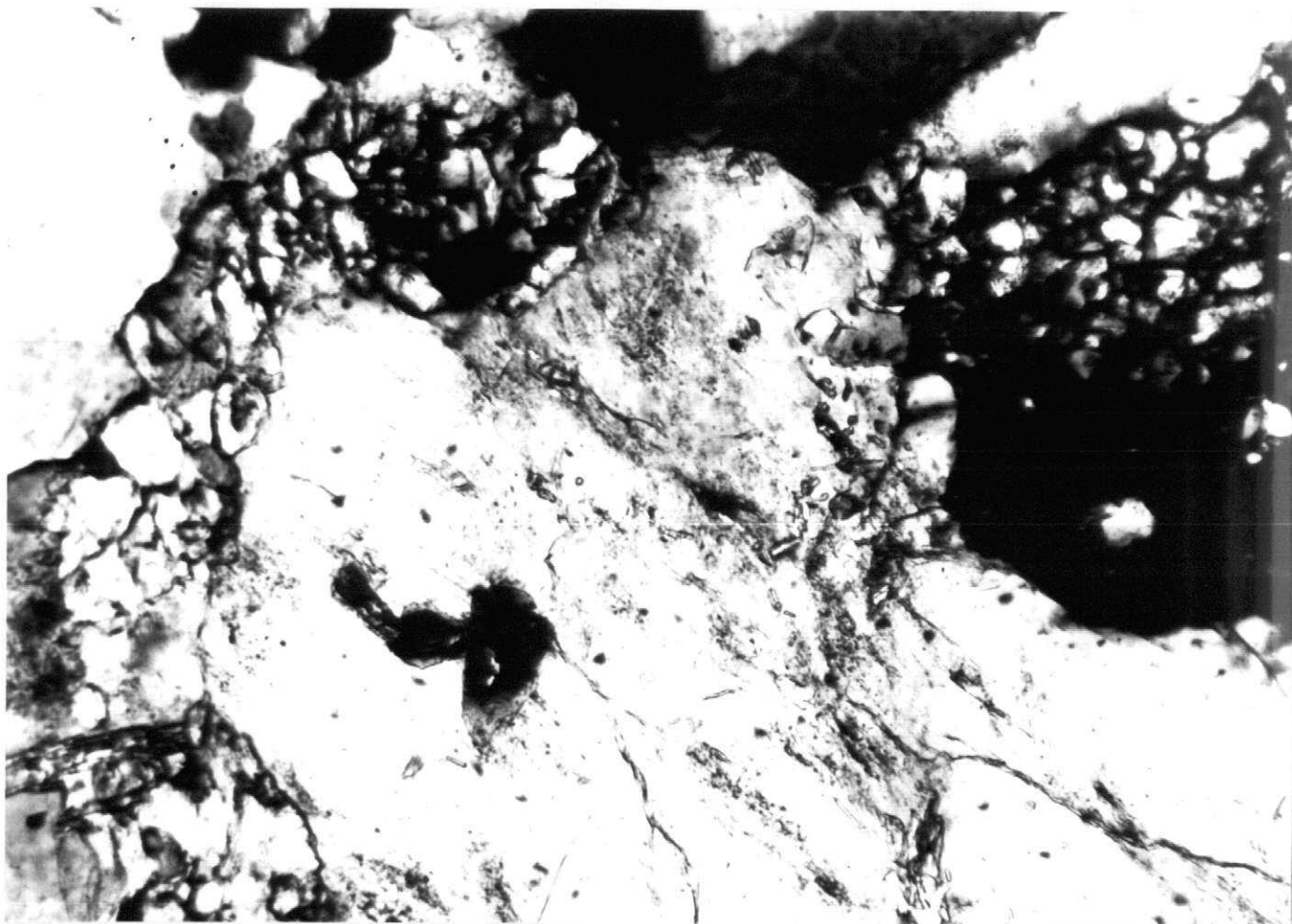




06-05 IM NB 1197.- Detalle de la deformación con zonas microgranuladas entre los
nódulos de plagioclasa y cuarzo. LP X 78



IMINSA

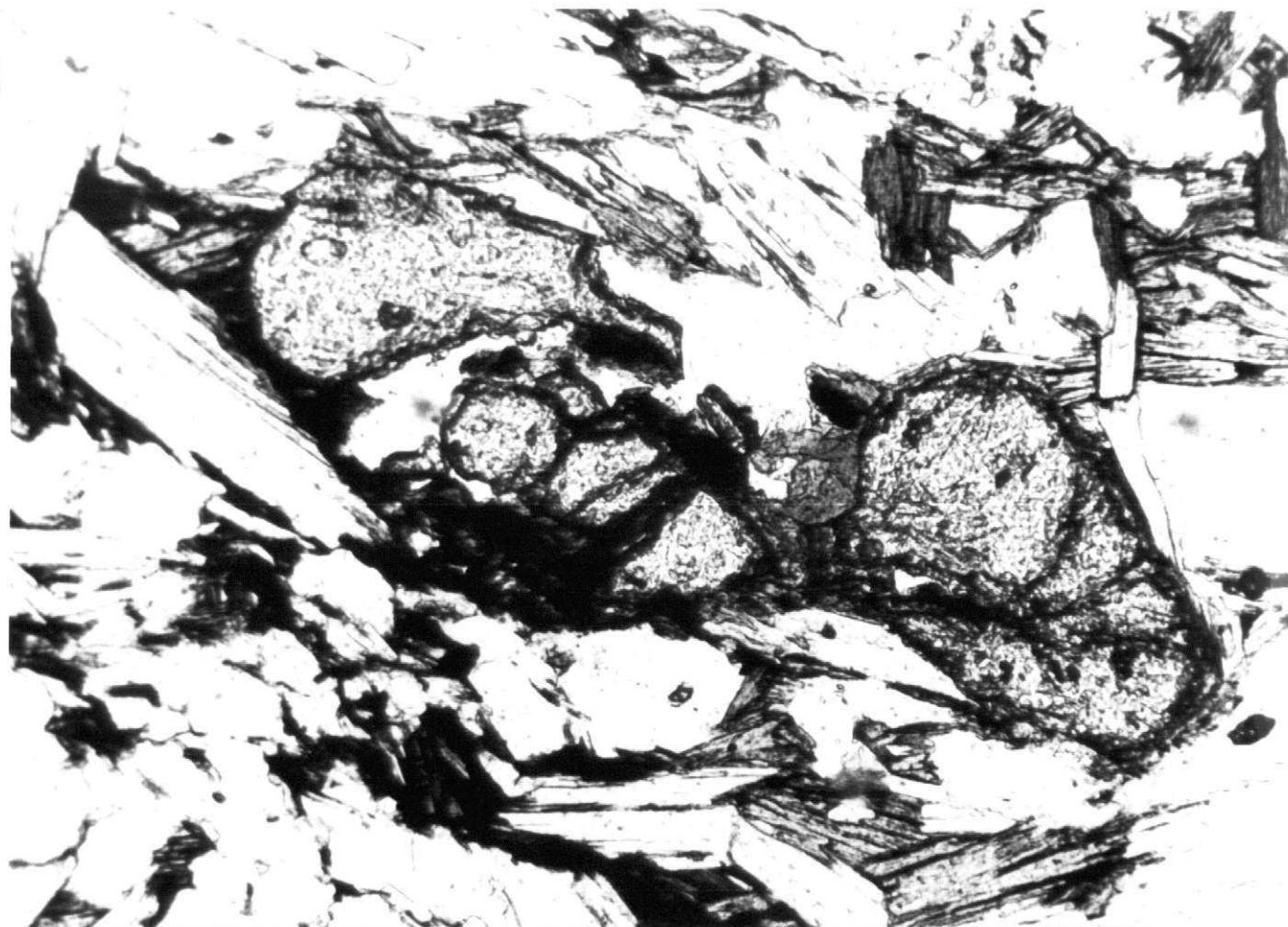


06-05 IM NB 1198.- Detalle de microgranulación, intergranular, en el granito deformado.

LP X 78



IMINSA



06-05 IM NB 1199.- Granates incluidas en zonas más micáceas del granito orientado. LP X 78



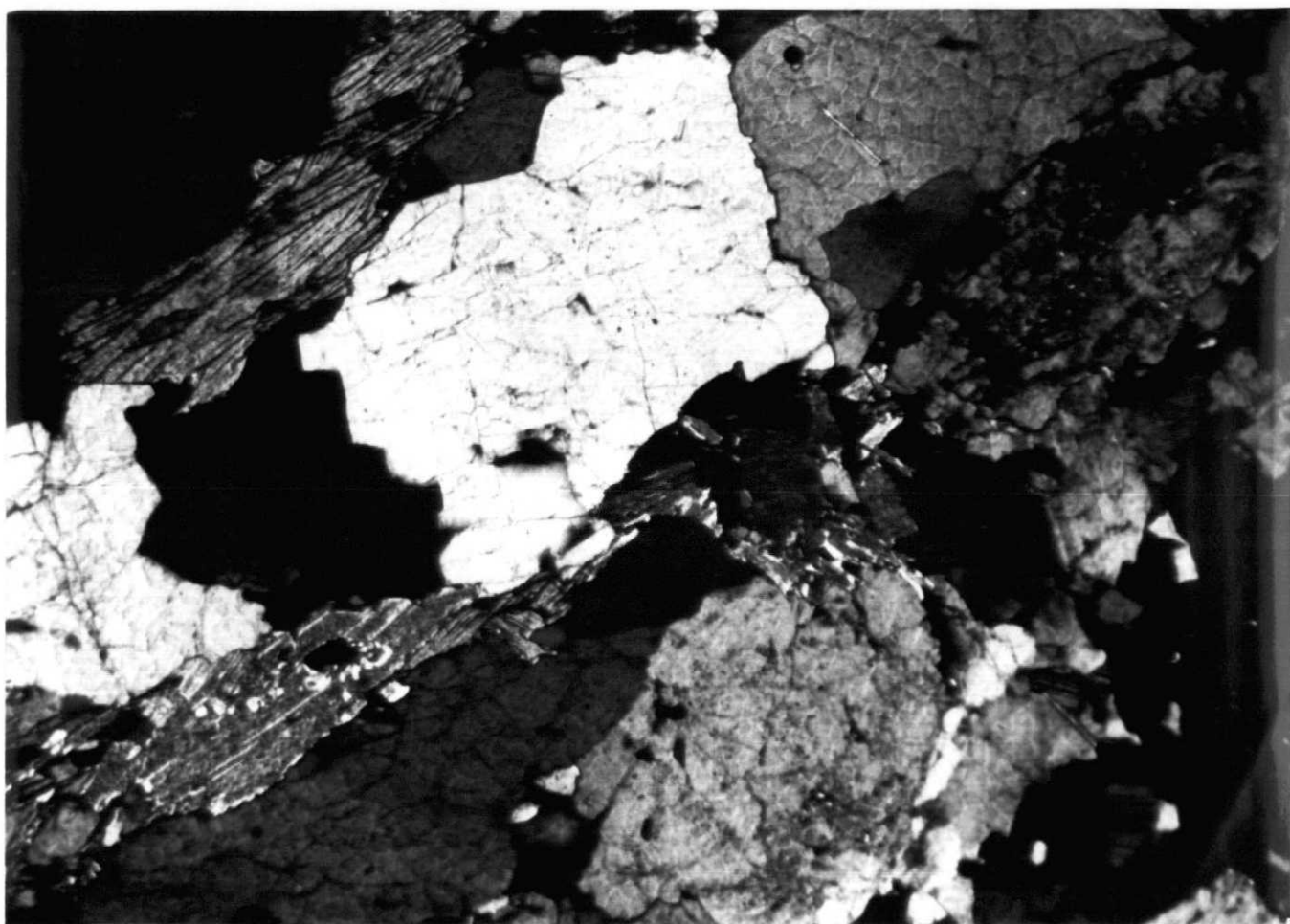
IMINSA



06-05 IM NB 1199.- Nódulos de moscovita y plagioclásas en zonas de grano más fino en el granito oriental. LP X 32

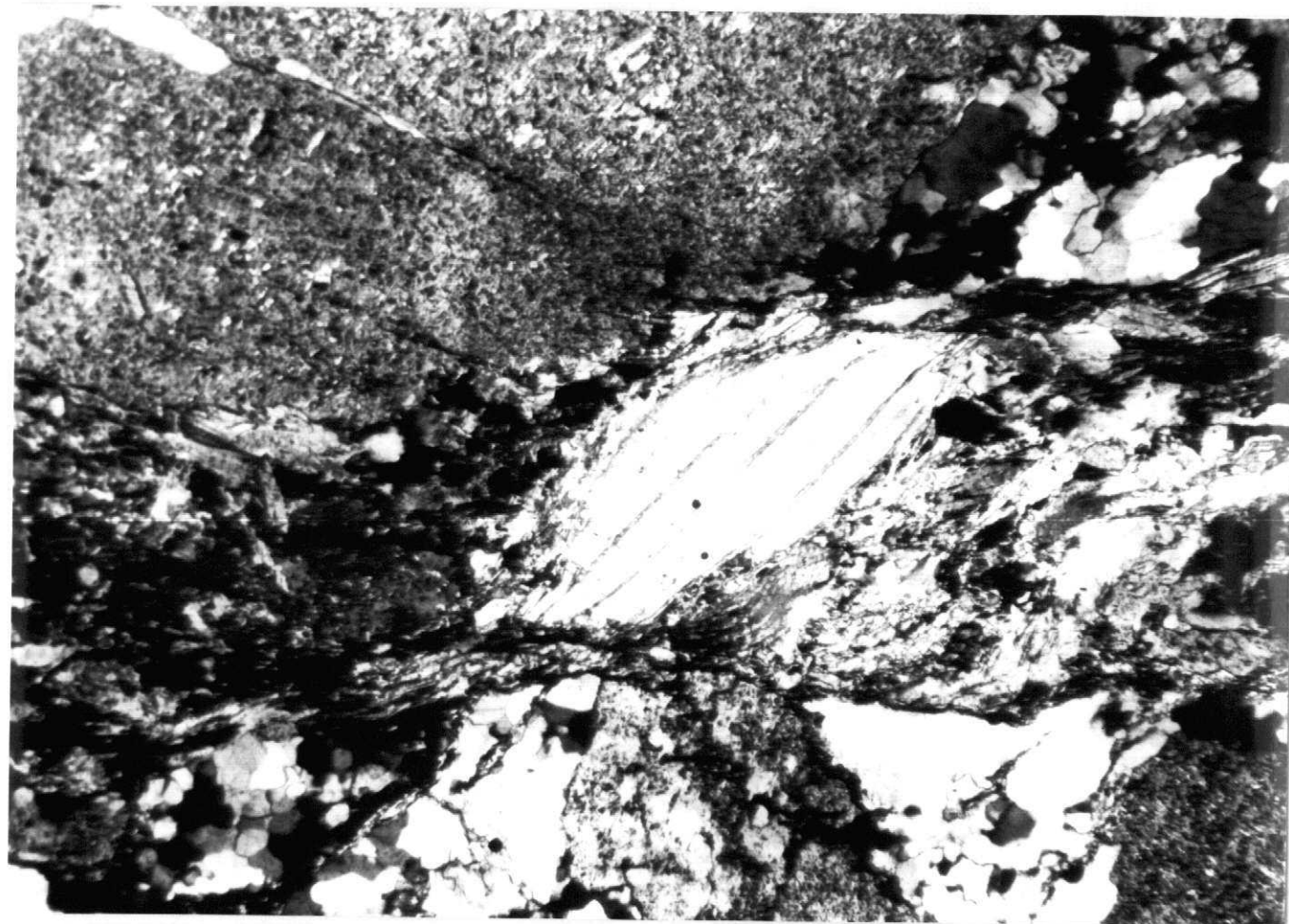


IMINSA



06-05 IM NB 1205.- Aspecto general de la granodiorita deformada, en la que se observa las micas orientadas. LP X 32





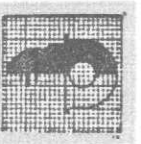
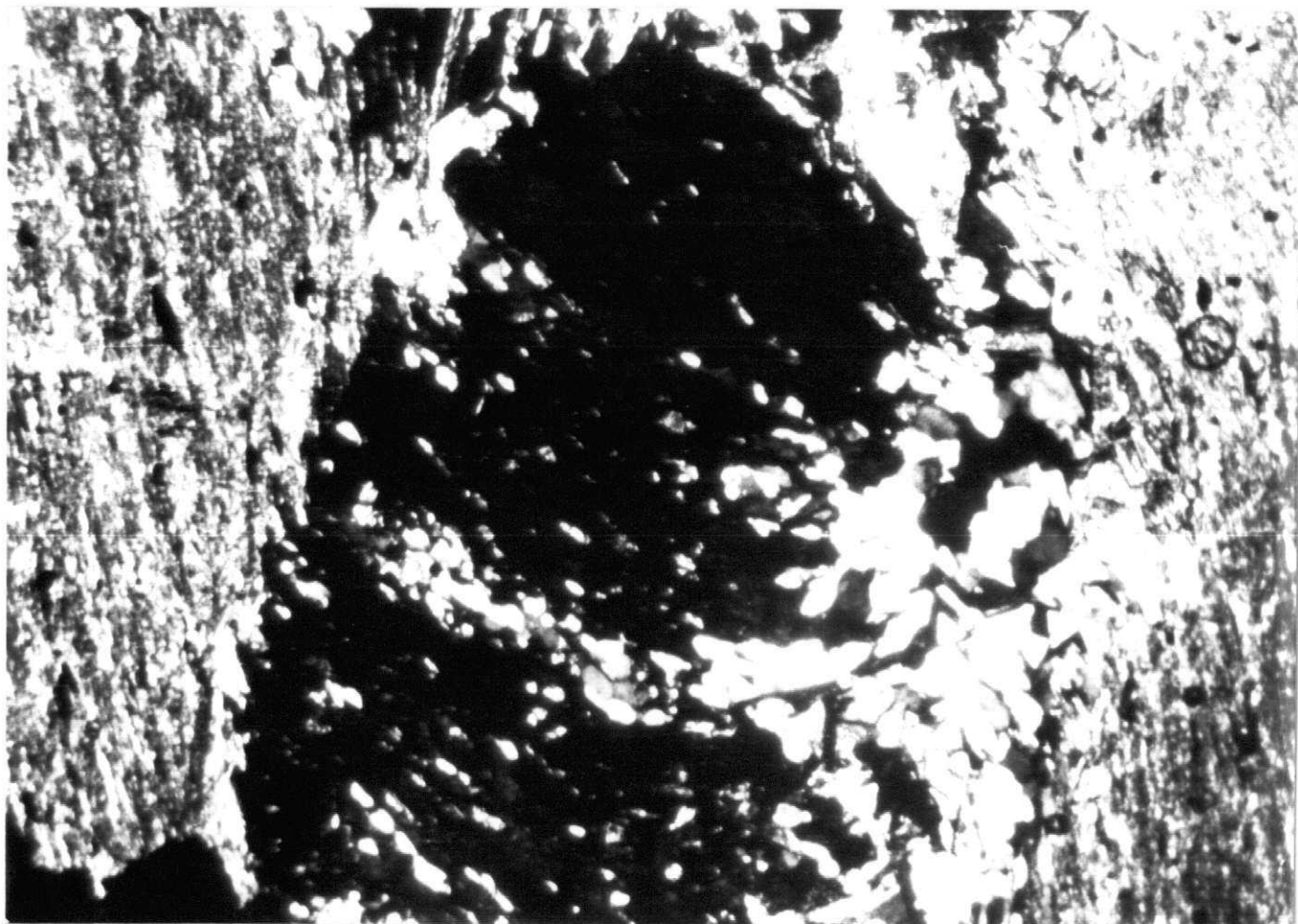
06-05 IM NB 1207.- Moscovita deformada y zonas de microgranulación en la granodiorita
deformada. LP X 32



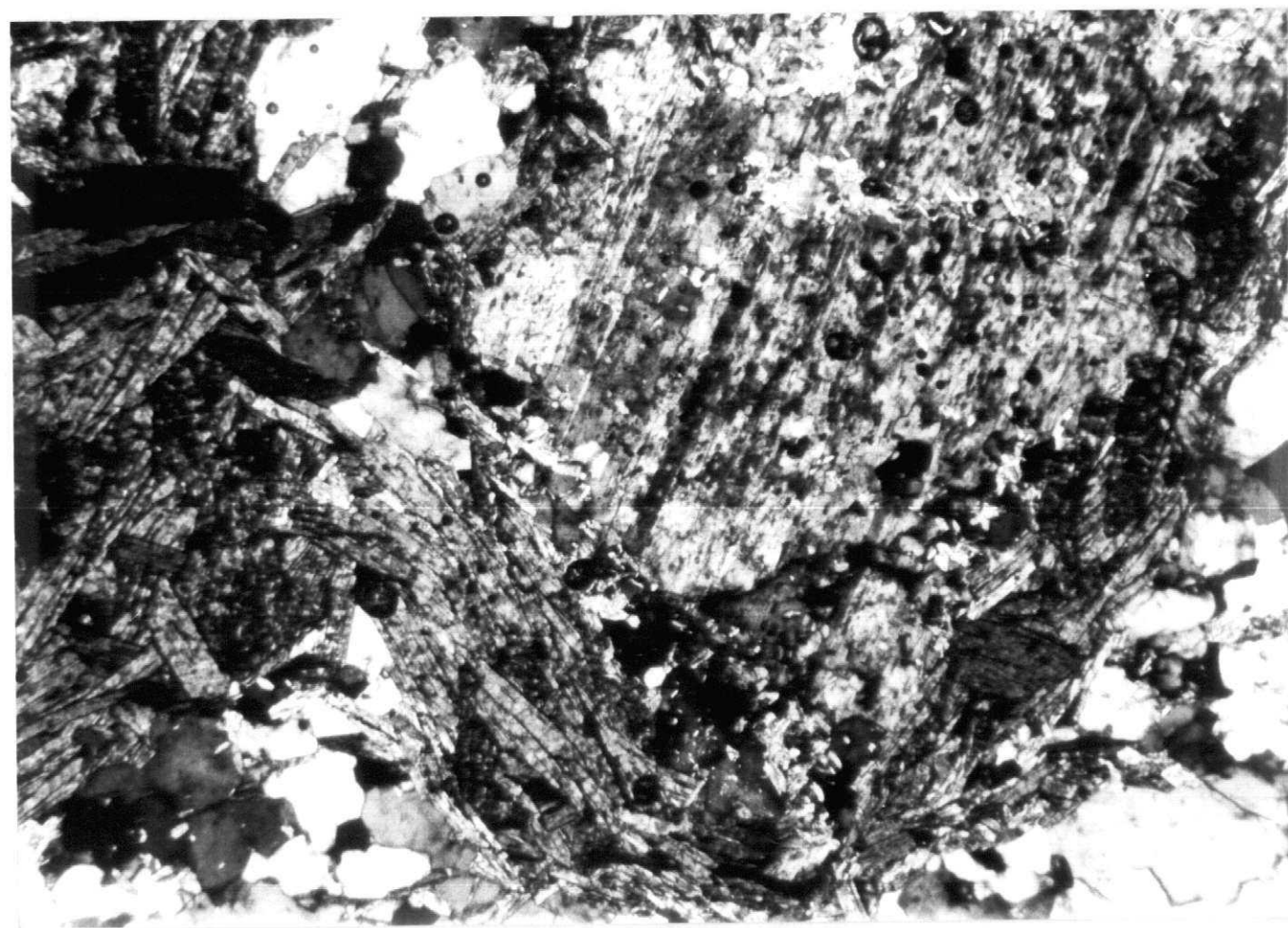
IMINSA



06-05 IM NB 1207.- Turmalinas de formas corroidas reemplazadas por clorita en la granodiorita
deformada. LN X 32



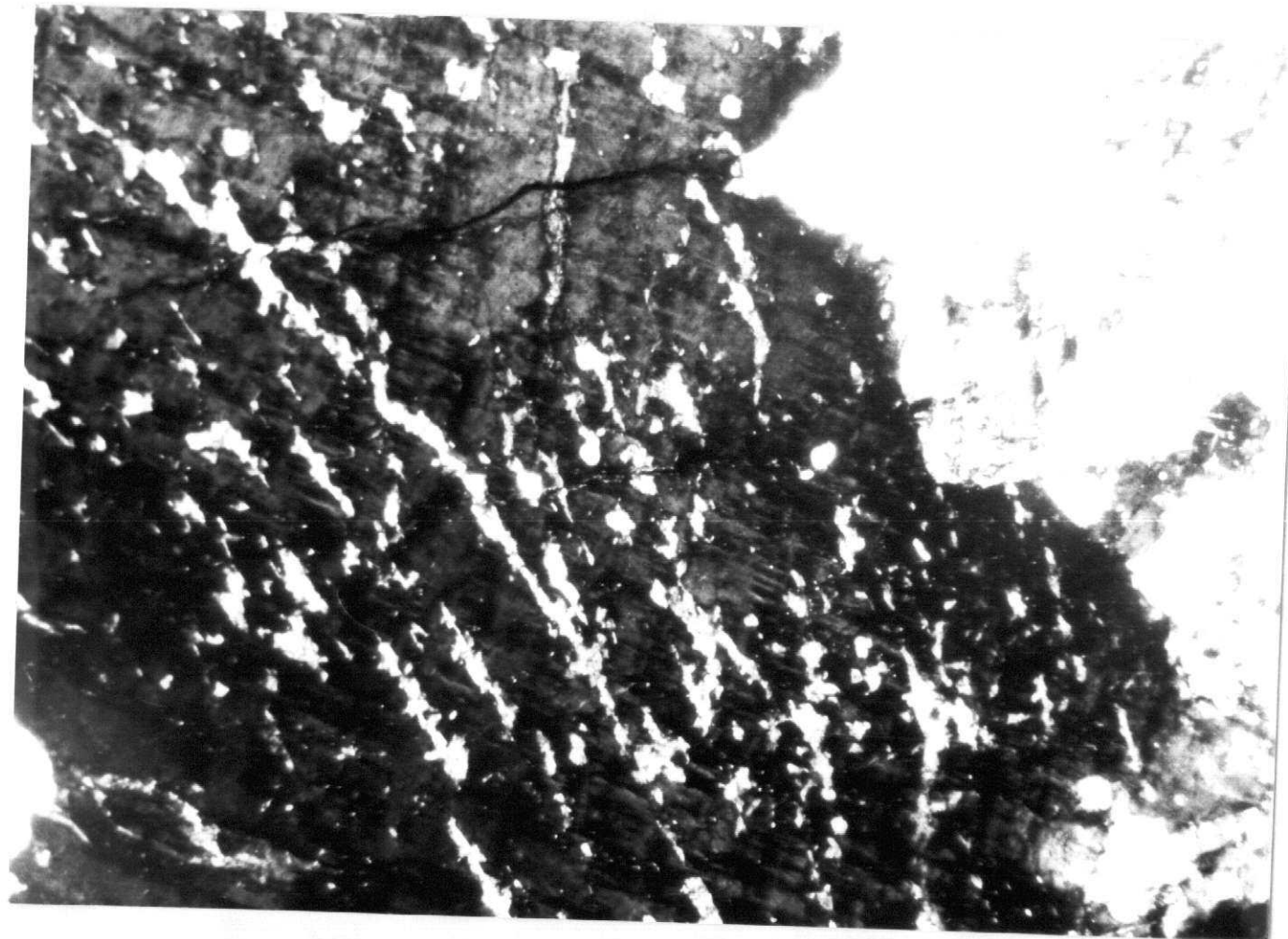
IMINSA



06-05 IM IP 2007.- Plagioclasa del Oollo de Sapo. LP X 32



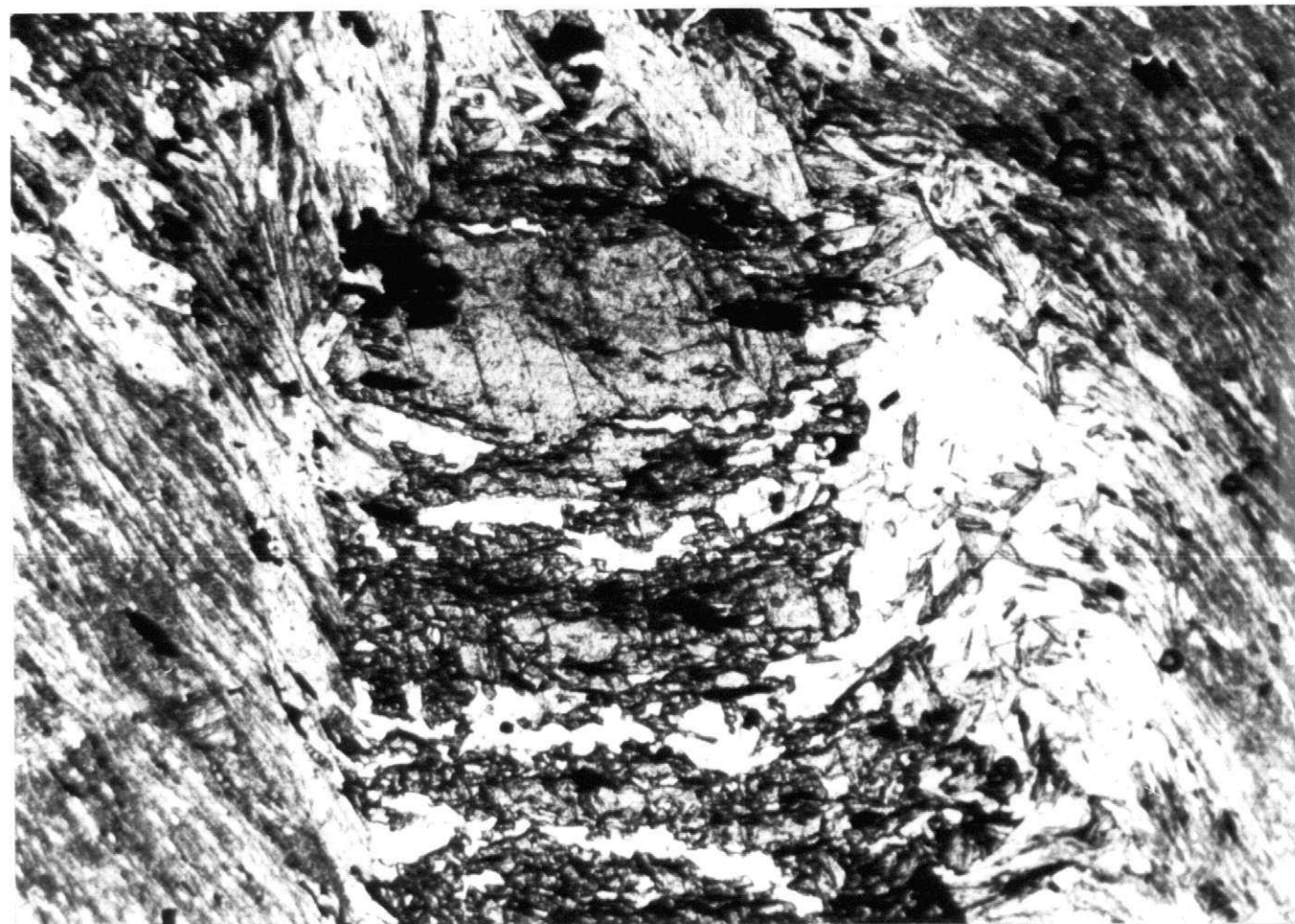
IMINSA



06-05 IM IP 2035.- Pertitas en feldespato potásico del granito. LP X 32



IMINSA



06-05 IM IP 2036.- Estaurolita preesquistosidad de 2^a Fase y con inclusiones de cuarzo posiblemente orientadas por la esquistosidad de 1^a Fase. LN X 78



IMINSA